

**UJI POTENSI TABIR SURYA EKSTRAK ETANOL KULIT BATANG KAYU
JAWA (*Lannea Coromandelica*) SECARA *IN VITRO***



SKRIPSI

Diajukan untuk Memenuhi Salah Satu Syarat Memperoleh
Gelar Sarjana Farmasi pada Jurusan Farmasi
Fakultas Kedokteran dan Ilmu Kesehatan
UIN Alauddin Makassar

UNIVERSITAS ISLAM NEGERI
Oleh:
NURLINDA
NIM. 70100118058
M A K A S S A R

**FAKULTAS KEDOKTERAN DAN ILMU KESEHATAN
UNIVERSITAS ISLAM NEGERI ALAUDDIN MAKASSAR**

2023

PERNYATAAN KEASLIAN SKRIPSI

Mahasiswa yang bertandatangan di bawah ini:

Nama : Nurlinda

Nim : 70100118058

Tempat/Tanggal Lahir : Batujala, 13 Mei 2001

Jur/Prodi/Konsentrasi : Farmasi

Alamat : Batujala, Kec. Bontoramba, Kab. Jeneponto

Judul : Uji Potensi Tabir Surya Ekstrak Etanol Kulit Batang Kayu
Jawa (*Lannea Coromandelica*) secara In Vitro

Menyatakan dengan sesungguhnya dan penuh kesadaran bahwa skripsi ini benar adalah hasil karya sendiri. Jika di kemudian hari terbukti bahwa ia merupakan duplikat, tiruan, plagiat, atau dibuat oleh orang lain, sebagian atau seluruhnya, maka skripsi dan gelar yang diperoleh karenanya demi hukum.

UNIVERSITAS ISLAM NEGERI

ALA UDDIN

M A K A S S A R

Samata-Gowa, 31 Juli 2023

Penyusun,



NURLINDA

NIM. 70100118058

PENGESAHAN SKRIPSI

Skripsi yang berjudul “ *Uji Potensi Tabir Surya Ekstrak Etanol Kulit Batang Kayu Jawa (*Lannea coromandelica*) secara In Vitro*” yang disusun oleh Nurlinda, NIM: 70100118058, Mahasiswa Jurusan Farmasi pada Fakultas Kedokteran dan Ilmu Kesehatan UIN Alauddin Makassar, telah diuji dan dipertahankan dalam sidang *Munaqasyah* yang diselenggarakan pada hari Kamis, 22 Juni 2023 H, dinyatakan telah dapat diterima sebagai salah satu syarat memperoleh gelar Sarjana dalam Ilmu Kesehatan, Jurusan Farmasi.

Gowa, 31 Juli 2023
*Kalender Hijriah

DEWAN PENGUJI:

Ketua	: Dr. dr. Syatirah, Sp.A., M.Kes	(.....)
Sekretaris	: apt. Surya Ningsi, S.Si., M.Si.	(.....)
Munaqisy I	: apt. Afrisusnawati Rauf, S.Si., M.Si.	(.....)
Munaqisy II	: Dr. St. Nasriah, M.Sos.I.	(.....)
Pembimbing I	: Dr.apt. Mukhriani, S.Si., M.Si.	(.....)
Pembimbing II	: apt. Indah, S.Si., M.Si.	(.....)

Diketahui Oleh:
Dekan Fakultas Kedokteran dan Ilmu Kesehatan
UIN Alauddin Makassar



Dr. dr. Syatirah, Sp.A., M.Kes
NIP: 19800701 200604 2 002

KATA PENGANTAR

Puji syukur kehadirat Allah Swt. Atas berkah dan nikmatnyalah sehingga skripsi ini dapat diselesaikan. Shalawat dan salam tak lupa kita curahkan kepada junjungan kita baginda Nabi Muhammad SAW. Keluarga, para sahabat nabi dan orang-orang yang mengikutinya. Skripsi ini merupakan salah satu syarat untuk memperoleh gelar sarjana pada Jurusan Farmasi Fakultas Kedokteran dan Ilmu Kesehatan Universitas Islam Negeri Alauddin Makassar. Besar harapan penulis agar kedepannya skripsi ini dapat bermanfaat bagi ilmu pengetahuan dan dapat bermanfaat bagi orang banyak.

Terima kasih yang setulusnya kepada kedua orang tua penulis, Saleh dan Mantang atas segala pengorbanan, kesabaran, serta doa yang di berikan untuk penulis dalam membesarkan dan mendidik hingga saat ini. Terima kasih pula kepada bapak dan ibu:

1. Bapak Prof. Drs. Hamdan Juhannis, M.A., Ph.D. Rektor Universitas Islam Negeri Alauddin Makassar
2. Bapak Prof. Dr. Mardan, M.Ag. Wakil Rektor I Universitas Islam Negeri Alauddin Makassar
3. Bapak Dr. Wahyuddin, M.Hum. Wakil Rektor II Universitas Islam Negeri Alauddin Makassar
4. Bapak Prof. Dr. Darussalam, M.Ag. Wakil Rektor III Universitas Islam Negeri Alauddin Makassar
5. Bapak Dr. H. Kamaluddin Abunawas, M.Ag. Wakil Rektor IV Universitas Islam Negeri Alauddin Makassar
6. Ibu Dr. dr. Hj. Syatirah Jalaluddin, M.Kes., Sp.A. Dekan Fakultas Kedokteran dan Ilmu Kesehatan Universitas Islam Negeri Alauddin Makassar.
7. Ibu Dr. apt. Hj. Gemy Nastity Handayany, S.Si., M.Si. Wakil Dekan I Fakultas Kedokteran dan Ilmu Kesehatan Universitas Islam Negeri Alauddin Makassar.
8. Bapak Dr. H. M. Fais Satrianegara, S.KM., MARS. Wakil Dekan II Fakultas Kedokteran dan Ilmu Kesehatan Universitas Islam Negeri Alauddin Makassar.

9. Bapak Prof. Dr. Mukhtar Lutfi, M.Pd. Wakil Dekan III Fakultas Kedokteran dan Ilmu Kesehatan Universitas Islam Negeri Alauddin Makassar.
10. Ibu apt. Surya Ningsi, S.Si., M.Si. Ketua Jurusan Farmasi Fakultas Kedokteran dan Ilmu Kesehatan Universitas Islam Negeri Alauddin Makassar.
11. Ibu Nur Syamsi Dhuha S.Farm., M.Farm. Sekretaris Jurusan Farmasi Fakultas Kedokteran dan Ilmu Kesehatan Universitas Islam Negeri Alauddin Makassar.
12. Dwi Wahyuni Leboe, S.Si., M.Si. Pembimbing Akademik yang telah banyak memberikan saran dan masukan
13. apt. Mukhriani, S.Si., M.Si. Pembimbing I yang telah banyak meluangkan waktu dalam memberikan saran dan bimbingan dalam penyusunan skripsi
14. apt. Indah, S.Si., M.Si. Pembimbing II yang telah banyak memberikan arahan dan masukan dalam penyusunan skripsi.
15. apt. Afrisusnawati Rauf, S.Si., M.Si. Penguji Kompetensi yang telah banyak memberikan saran yang baik dalam penyusunan skripsi.
16. Dr. St. Nasriah, M.Sos.I. Penguji Agama yang telah banyak memberikan saran dan masukan terkait keagamaan dalam penyusunan skripsi.
17. Bapak dan ibu dosen yang telah sabar mendidik dan membagikan ilmunya.
18. Seluruh staf, civitas akademik, keluarga besar Farmasi, dan khususnya angkatan 2018 (SUSPENSI) atas bantuan dan informasi yang telah diberikan kepada penulis dalam melaksanakan penelitian dan menyusun skripsi.

Dengan kerendahan hati, penulis berharap agar skripsi ini mendapat ridha dari Allah Swt. Dan dapat bermanfaat bagi masyarakat dan dalam ilmu pengetahuan, terkhusus kepada penulis.

Gowa, 31 Juli 2023

Penyusun



NURLINDA
70100118058

DAFTAR ISI

SAMPUL.....	i
PERNYATAAN KEASLIAN SKRIPSI.....	ii
PENGESAHAN SKRIPSI	iii
KATA PENGANTAR.....	iv
DAFTAR ISI.....	vi
DAFTAR LAMPIRAN	viii
DAFTAR TABEL.....	ix
DAFTAR GAMBAR	x
ABSTRAK	xi
ABSTRACT.....	xii
BAB I PENDAHULUAN.....	1
A. Latar Belakang.....	1
B. Rumusan Masalah.....	3
C. Defenisi Operasional dan Ruang Lingkup Penelitian.....	4
D. Kajian Pustaka	5
E. Tujuan dan Manfaat Penelitian.....	7
BAB II TINJAUAN PUSTAKA.....	8
A. Uraian Tanaman Kayu Jawa	8
B. Kulit	11
C. Sinar <i>Ultraviolet</i> (UV).....	17
D . Tabir Surya	19
E. Spektrofotometer UV-Vis	25
F. Simplisia dan Ekstraksi.....	29
G. Pelarut.....	34
H. Tinjauan Islami.....	37
BAB III METODOLOGI PENELITIAN	41
A. Jenis Penelitian	41
B. Pendekatan Penelitian	41

C. Lokasi dan Waktu Penelitian	41
D. Populasi dan Sampel.....	41
E. Alat dan Bahan.....	42
F. Prosedur Kerja.....	42
G. Teknik Pengolahan Data dan Analisis Data	43
BAB IV HASIL DAN PEMBAHASAN	47
A. Hasil.....	47
B. Pembahasan	49
BAB V PENUTUP.....	55
A. Kesimpulan.....	55
B. Saran	55
DAFTAR PUSTAKA	56
LAMPIRAN	60
Lampiran	60
DAFTAR RIWAYAT HIDUP.....	100



DAFTAR LAMPIRAN

Lampiran:

1. Skema Kerja Penyiapan Sampel	52
2. Analisis Data	53
3. Hasil Pengukuran Transmiten	54
4. Hasil Pengukuran Nilai SPF	64
5. Perhitungan Nilai %Te, %Tp, dan Nilai SPF	76
6. Proses Pengelolaan sampel	81
7. Proses pengukuran data menggunakan spektrofotometri UV-Vis	82
8. Hasil pengukuran spektrofotometri UV-Vis	83



DAFTAR TABEL

Tabel:

1. Keefektifan sediaan tabir surya berdasarkan nilai SPF 19	19
2. Keefektifan sediaan tabir surya berdasarkan persen transmisi eritema (%Te) dan pigmentasi (%Tp)	20
3. Faktor efektifitas dan fluks eritema dan pigmentasi pada panjang gelombang 290 – 375 nm	20
4. Hasil Ekstraksi Kulit Batang Kayu Jawa (<i>Lannea coromandelica</i>)	42
5. Nilai % Transmisi Eritema Ekstrak Kulit Batang Kayu Jawa (<i>Lannea coromandelica</i>)	42
6. Nilai % Transmisi pigmentasi Ekstrak Kulit Batang Kayu Jawa (<i>Lannea coromandelica</i>)	43
7. Nilai <i>Sun Protection Factor</i> (SPF) Ekstrak Kulit Batang Kayu Jawa (<i>Lannea coromandelica</i>)	43
8. Hasil Pengukuran Transmiten	54
9. Hasil Pengukuran Nilai SPF	64

DAFTAR GAMBAR

Gambar :

1. Tanaman kayu jawa	8
2. Struktur kulit	10
3. Spektrum Elektromagnetik	17
4. Proses Pengelolaan sampel	81
5. Proses pengukuran data menggunakan spektrofotometri UV-Vis	82
6. pengukuran absorbansi <i>Sun Protection Factor</i> (SPF)	83
7. Pengukuran % Transmisi Eritema	85
8. Pengukuran % Transmisi Pigmentasi	88

ABSTRAK

Nama : Nurlinda
Nim : 70100118058
Judul : Uji Potensi Tabir Surya Ekstrak Etanol Kulit Batang Kayu Jawa (*Lannea coromandelica*) Secara In Vitro

Tabir surya merupakan salah satu produk kosmetik yang digunakan untuk melindungi kulit dari bahaya sinar matahari terutama pada sinar ultraviolet. Penelitian ini bertujuan untuk mengetahui potensi tabir surya dari ekstrak kulit batang kayu jawa (*Lannea coromandelica*). Penentuan potensi tabir surya ini dilakukan dengan menghitung nilai *sun protection factor* (SPF), persen transmisi eritema (%Te) dan persen transmisi pigmentasi (%Tp). Penentuan %Te dan SPF adalah untuk menunjukkan efektivitas tabir surya terhadap UV-B, sedangkan untuk %Tp adalah untuk menunjukkan efektivitas tabir surya terhadap UV-A. Dari pengujian tersebut didapatkan hasil perhitungan nilai rata-rata persen transmisi eritema (%Te) pada konsentrasi 100 ppm, 150 ppm, 200 ppm, 250 ppm, dan 300 ppm berturut-turut adalah 2,88% (*Ekstra Protection*), 1,60% (*Ekstra Protection*), 0,88% (*Total Block*), 0,55% (*Total Block*), dan 0,35% (*Total Block*). Untuk hasil perhitungan nilai rata-rata persen transmisi pigmentasi (%Tp) pada konsentrasi 100 ppm, 150 ppm, 200 ppm, 250 ppm, dan 300 ppm berturut-turut adalah 48,32% (*Ekstra Protection*), 41,14% (*Total Block*), 36,61% (*Total Block*), 31,22% (*Total Block*), dan 27,30% (*Total Block*). Sedangkan perhitungan nilai rata-rata *Sun Protection Factor* (SPF) kulit batang kayu jawa (*Lannea coromandelica*) pada konsentrasi 100 ppm, 150 ppm, 200 ppm, 250 ppm, dan 300 ppm berturut-turut adalah 4,18 (*Proteksi Sedang*), 5,58 (*Proteksi Sedang*), 7,24 (*Proteksi Ekstra*), 8,90 (*Proteksi Maksimal*), dan 10,88 (*Proteksi Maksimal*).

Kata kunci : Kulit Batang Kayu Jawa, Potensi Tabir Surya, Eritema, Pigmentasi, *Sun Protection Factor* (SPF)

ABSTRACT

Name : Nurlinda
Nim : 70100118058
Title : Test the sunscreen potential of the ethanol extract of kayu jawa stem bark (*Lannea coromandelica*) with in vitro

Sunscreen is one of the cosmetic products used to protect the skin from the dangers of sunlight, especially in ultraviolet rays. This study aims to determine the potential for sunscreen from extracts of kayu jawa stem bark (*Lannea coromandelica*). Determination of the potential of this sunscreen is done by calculating the value of the sun protected factor (SPF), the percentage of transmission of erythema (%Te) and the percentage of transmission of pigmentation (%Tp). Determination of %Te and SPF is to show the effectiveness of sunscreen against UV-B, while %Tp is to show the effectiveness of sunscreen against UV-A. From this test, the results obtained from the calculation of the average percent erythema transmission (%Te) at concentrations of 100 ppm, 150 ppm, 200 ppm, 250 ppm, and 300 ppm respectively were 2.88% (*Extra Protection*), 1.60 % (*Extra Protection*), 0.88% (*Total Block*), 0.55% (*Total Block*), and 0.35% (*Total Block*). For the calculation results of the average percentage of pigmentation transmission (% Tp) at concentrations of 100 ppm, 150 ppm, 200 ppm, 250 ppm, and 300 ppm respectively are 48.32% (*Extra Protection*), 41.14% (*Total Block*), 36.61% (*Total Block*), 31.22% (*Total Block*), and 27.30% (*Total Block*). Meanwhile, the calculation of the average Sun Protected Factor (SPF) of kayu jawa stem bark (*Lannea coromandelica*) at concentrations of 100 ppm, 150 ppm, 200 ppm, 250 ppm, and 300 ppm respectively is 4.18 (Moderate Protection), 5.58 (Moderate Protection), 7.24 (*Extra Protection*), 8.90 (*Maximum Protection*), and 10.88 (*Maximum Protection*).

Kata kunci : Kayu Jawa, Potential Sunscreen, Erythema, Pigmentation, *Sun Protection Factor* (SPF)

BAB I

PENDAHULUAN

A. Latar Belakang

Indonesia adalah negara yang memiliki iklim tropis dengan paparan sinar matahari yang terus-menerus sepanjang musim. Sinar matahari merupakan sumber kehidupan sumber kehidupan bagi setiap makhluk hidup yang ada di bumi, namun sinar matahari tidak selalu memberikan dampak positif, karena sinar matahari mengandung sinar ultraviolet yang dapat memberikan dampak buruk bagi kulit manusia apabila terpapar secara berlebihan. Dampak negatif pada kulit apabila terpapar sinar matahari secara berlebihan dapat menyebabkan terjadinya eritema, tanning, pigmentasi, penuaan dini (*skin aging*), bahkan dapat mengakibatkan terjadinya kanker kulit (Syifa Salsabila, 2021).

UV adalah radiasi ultraviolet yang terdiri dari tiga kategori seperti UVA adalah 320-400 nm, UVB adalah 290-320 nm dan UVC adalah 100-290 nm. UV-C adalah radiasi yang paling merusak secara biologis, tetapi tersaring oleh lapisan ozon. Saat ini radiasi UV-B merupakan radiasi yang berada pada tingkat yang paling rendah, radiasi UV-A paling berbahaya yang dapat menyebabkan kulit terbakar dan kanker kulit (Chanchal Deep Kaur, 2010) .

Kulit merupakan bagian tubuh manusia yang dapat melindungi tubuh dari paparan polusi, dan gangguan agar tidak mengalami sakit. Umumnya kulit memiliki sistem perlindungan alamiah terhadap paparan sinar matahari yang dapat merugikan yaitu dengan cara penebalan stratum korneum dan pigmentasi kulit. Akan tetapi kulit tidak dapat menahan kontak langsung terhadap sinar matahari dalam waktu yang lama.

Untuk mengatasi efek yang merugikan tersebut diperlukan perlindungan tambahan seperti menggunakan sediaan tabir surya (Rini Agustin, 2013).

Dalam melindungi kulit tabir surya mempunyai dua cara kerja berbeda yaitu dengan memantulkan dan menyerap sinar UV. Untuk melindungi kulit dari paparan sinar UV tabir surya harus memiliki nilai *Sun Protection Factor* (SPF) ≥ 4 . Nilai SPF menunjukkan kekuatan tabir surya dalam melindungi kulit di bawah sinar matahari yang dapat memberikan efek negatif bagi kulit seperti terjadinya eritema. Bahan kimia sintetik telah banyak digunakan dalam pembuatan sediaan tabir surya, sedangkan bahan alam belum banyak dimanfaatkan dalam industri produk tabir surya (Anita Dwi Puspitasari, 2018).

Pengembangan tabir surya bahan alam lebih mudah diterima oleh masyarakat, karena tabir surya bahan alam memiliki dampak negatif lebih sedikit dan lebih aman digunakan daripada tabir surya bahan kimia. Oleh karena itu beberapa penelitian fokus dalam penggunaan bahan alam yang dapat menurunkan radiasi sinar matahari dan meningkatkan perlindungan terhadap efek negatif radiasi sinar matahari pada kulit. Ekstrak atau sari kental suatu bahan alam yang akan diolah menjadi produk harus memenuhi ketentuan standar uji dengan menggunakan metode pengujian yang telah ditetapkan Badan POM tentang jenis pelarut yang digunakan, kadar air, kadar abu total, dan kadar abu tidak larut asam (Yasin, 2017).

Penggunaan antioksidan dalam tabir surya dapat meningkatkan efek fotoprotektif. Menggunakan zat seperti antioksidan dapat mencegah berbagai penyakit yang disebabkan oleh radiasi sinar UV. Beberapa golongan antioksidan aktif seperti flavonoid, tanin, antrakuinon, sinamat dan golongan lainnya telah dilaporkan memiliki kemampuan melindungi terhadap radiasi sinar UV (Maeda Wahyuningrum, 2018).

Tanaman kayu jawa mengandung berbagai molekul penangkal radikal bebas, seperti senyawa fenolik (asam fenolik, flavonoid, kuinon, kumarin, lignan, stilben, tanin), senyawa nitrogen (alkaloid, amina, betalain), vitamin, terpenoid (termasuk karotenoid), dan metabolit endogen lainnya yang memiliki banyak aktivitas antioksidan (Eva Ivanisova, 2013). Senyawa metabolit ini umumnya bersifat polar sehingga dalam penelitian ini digunakan pelarut polar yaitu etanol 70%. Pelarut polar ini diharapkan dapat menyari lebih banyak senyawa yang berpotensi sebagai antioksidan tersebut.

Senyawa fenolik terutama golongan flavonoid berpotensi sebagai tabir surya karena memiliki gugus kromofor (ikatan rangkap tunggal terkonjugasi) yang dapat menyerap sinar UV, baik sinar UVA maupun UVB sehingga mengurangi intensitasnya pada kulit (Nia Lisnawati, 2019). Hasil skrining fitokimia ekstrak etanol total kulit batang jawa menunjukkan adanya metabolit sekunder antara lain flavonoid, saponin, glikosida, fenol dan tanin (Cahyani, 2017).

Berdasarkan uraian tersebut, kulit batang kayu jawa berpotensi sebagai tabir surya, Namun belum ada penelitian ilmiah yang menguji potensi tersebut. Oleh karena itu, perlu dilakukan penelitian untuk mengetahui potensi sebagai tabir surya dan menghitung nilai SPF (*Sun Protecting Factor*).

B. Rumusan Masalah

1. Bagaimana potensi ekstrak kulit batang kayu jawa (*Lannea coromandelica*) sebagai tabir surya?
2. Berapa nilai *Sun Protecting Factor* (SPF) ekstrak etanol kulit batang kayu jawa (*Lannea coromandelica*)?

3. Berapa nilai % transmisi eritema (%Te) dan % transmisi pigmentasi (%Tp) ekstrak etanol kulit batang kayu jawa (*Lannea coromandelica*)?

C. Defenisi Operasional dan Ruang Lingkup Penelitian

1. Defenisi Operasional

- a. Potensi tabir surya adalah kemampuan suatu sediaan atau zat dalam menghambat penetrasi sinar UV ke dalam kulit yang dapat ditentukan berdasarkan persen transmisi eritema dan persen transmisi pigmentasi.
- b. Tabir surya merupakan suatu sediaan yang secara fisik atau kimia dapat menghambat penetrasi sinar UV ke dalam kulit
- c. Persentase transmisi eritema/pigmentasi adalah perbandingan jumlah energi sinar UV yang diteruskan oleh sediaan tabir surya pada spektrum eritema/pigmentasi dengan jumlah faktor keefektifan eritema/pigmentasi pada tiap panjang gelombang dalam rentang 292,5-372,5 nm.
- d. *Sun Protection Factor* (SPF) merupakan indikator yang menjelaskan tentang keefektifan dari suatu produk atau zat yang bersifat UV protektor, yang dikategorikan menjadi semakin tinggi nilai SPF dari suatu produk atau zat aktif tabir surya maka semakin efektif melindungi kulit dari pengaruh buruk sinar UV.
- e. Ekstrak adalah sediaan yang diperoleh dengan mengekstraksi senyawa aktif dari simplisia menggunakan pelarut yang sesuai, kemudian semua atau hampir semua pelarut diuapkan.
- f. *In vitro* adalah suatu metode yang digunakan untuk mengukur nilai *Sun Protection Factor* (SPF) dengan menggunakan analisis secara

spektrofotometri larutan hasil pengenceran dari zat atau ekstrak yang diuji.

2. Ruang Lingkup penelitian

Penelitian ini menggunakan kulit batang kayu jawa sebagai sampel yang akan diuji potensi sebagai tabir surya dan menetapkan nilai SPF-nya, serta menentukan jenis tabir suryanya berdasarkan data analisis yang diperoleh.

D. Kajian Pustaka

1. Menurut Scholars Academic Journal of Pharmacy (SAJP) tentang *Natural Sunscreen Agents* (2013) oleh Priyanka Kantivan Goswami, Mayuri Samant, Rashmi Srivastava. Penggunaan tabir surya alami telah mendapatkan perhatian yang signifikan dari para peneliti karena keamanannya. Sifat aditif yang diberikan oleh fitokonstituen tanaman menjadikannya sebagai bahan yang paling cocok untuk formulasi tabir surya. Tanaman aktif lebih disukai daripada tabir surya kimia karena spektrum yang luas dari penyerapan UV, efek perlindungan terhadap stres oksidatif, peradangan dan kanker.
2. Menurut International Journal of Cosmetic Science tentang Plant-based active photoprotectants for sunscreens 2016 oleh (L.C Cefali, 2016), Paparan radiasi matahari yang berlebihan adalah mediator eksogen utama kerusakan kulit, yang mempercepat penuaan kulit dan meningkatkan risiko terkena kanker kulit. Senyawa yang memiliki aktivitas photoprotectant sangat berguna untuk mengurangi efek radiasi ultraviolet (UV) pada kulit; namun, banyak tabir surya, terutama tabir surya organik, bersifat alergi. Oleh karena itu, pengembangan formulasi yang mengandung ekstrak tumbuhan, yang mungkin berpotensi lebih aman, sedang dieksplorasi secara ekstensif. Kosmetik nabati biasanya

digunakan untuk menghindari penuaan kulit karena mengandung agen antioksidan yang meminimalkan aktivitas radikal bebas, dan banyak penelitian telah menyelidiki efek pelindung kulit dari spesies tanaman terkait. Selain sifat antioksidannya, kosmetik nabati melindungi kulit dari radiasi matahari karena mengandung polifenol seperti flavonoid dan karotenoid.

3. Menurut International Journal of Pharmacology tentang Antioxidant and Analgesic Activities of *Lannea coromandelica* Linn. Bark Extract (2012) oleh Badrul Alam Sarowar Hossain, Razibul Habib, Julia Rea and Anwarul Islam. MLCB menunjukkan potensi antioksidan yang baik dengan nilai IC50 masing-masing sebesar $12,32 \pm 0,16$ dan $34,72 \pm 0,48$ $\mu\text{g mL}^{-1}$, dengan daya reduksi yang baik.
4. Dari penelitian Umi Calsum, Akhmad Khumaidi, Khildah Khaerati mengenai *Aktivitas Ekstrak Etanol Kulit Batang Kayu Jawa (Lannea coromandelica) terhadap Penyembuhan Luka Sayat pada Tikus Putih (Rattus Norvegicus L.)* tahun 2018 Hasil penapisan fitokimia menunjukkan bahwa pada ekstrak kulit batang kayu jawa memberikan hasil positif terhadap golongan senyawa flavonoid, fenolik, saponin, dan tanin.
5. Penelitian yang dilakukan oleh Aprilia Intan Cahyani mengenai *Uji Aktivitas Antioksidan dari Ekstrak Kulit Batang Kayu Jawa (Lannea coromandelica) dengan Metode DPPH (2,2-Difenil-1-Pikrilhidrazil)* tahun 2017. Hasil uji aktivitas antioksidan yang dilakukan menunjukkan nilai AAI (Antioxidant Activity Index) ekstrak etanol total (E1), fraksi n-heksan (NH), fraksi etil asetat (EA), fraksi etanol (E2), vitamin C dan rutin berturut-turut 7.633 (sangat kuat),

4.097 (sangat kuat), 4.914 (sangat kuat), 6.183 (sangat kuat), 11.061 (sangat kuat) dan 6.585 (sangat kuat).

E. Tujuan dan Manfaat Penelitian

1. Tujuan Penelitian

- a. Untuk mengetahui potensi tabir surya dari ekstrak kulit batang kayu jawa (*Lannea coromandelica*)
- b. Untuk mengetahui nilai *Sun Protecting Factor* (SPF) dari ekstrak etanol kulit batang kayu jawa (*Lannea coromandelica*)
- c. Untuk mengetahui % transmisi eritema (%Te) dan % transmisi pigmentasi (%Tp) ekstrak etanol kulit batang kayu jawa (*Lannea coromandelica*)

2. Manfaat penelitian

- a. Diketahui potensi tabir surya ekstrak batang kayu jawa (*Lannea coromandelica*)
- b. Diperoleh data ilmiah mengenai nilai *Sun Protecting Factor* (SPF) ekstrak etanol batang kayu jawa (*Lannea coromandelica*) sebagai tabir surya
- c. Diperoleh data ilmiah mengenai nilai % transmisi eritema (%Te) dan % transmisi pigmentasi (%Tp) ekstrak etanol kulit batang kayu jawa (*Lannea coromandelica*).

BAB II

TINJAUAN PUSTAKA

A. Uraian Tanaman Kayu Jawa

1. Klasifikasi



Gambar 1 : Tanaman kayu jawa

Kingdom : Plantae
Super divisi : Spermatophyta
Divisi : Angiospermae
Kelas : Dicotyledoneae
Sub kelas : Dialepetalae
Ordo : Sapindales
Family : Anarcadiaceae
Genus : *Lanea*
Spesies : *Lanea coromandelica* Linn (Hout) Mer

2. Nama Daerah

Tanaman kayu jawa memiliki beragam nama daerah yakni dalam bahasa Jawa dinamakan kayu jaran, dalam bahasa Makassar dinamakan tammate, dan dalam bahasa Bugisnya dinamakan aju jawa.

3. Morfologi

Tanaman kayu jawa merupakan tanaman habitus, biasanya tinggi pohonnya mencapai 6-8 meter, berakar tunggang, batang bercabang. Daun majemuk gasal (ganjil), bentuk anak daun bulat memanjang, ada bekas ibu tangkai daun pada cabang/ ranting, pertulangan daun menyirip. Berwarna hijau pucat.

4. Kegunaan

Senyawa kimia yang tergolong dalam kelompok antioksidan dapat ditemukan pada tanaman kayu jawa dari golongan flavonoid. Kayu jawa digunakan untuk luka, mengatasi memar, diare ophthalmia, asam urat, keseleo dan disentri. Daun dari Kayu jawa berfungsi untuk mengobati pembengkakan akibat keseleo dan kaki gajah (Sathish R, 2010: 1)

5. Kandungan kimia

Hasil penapisan fitokimia menunjukkan bahwa pada ekstrak kulit batang kayu jawa memberikan hasil positif terhadap golongan senyawa flavonoid, fenolik, saponin, dan tanin (Umi Calsum, 2018). Ekstrak etanol 70% kulit batang kayu jawa menunjukkan terdapat senyawa metabolit sekunder yaitu Flavanoid, Saponin, Glikosida, Fenol, dan Tanin (Prawirodiharjo, 2014)

a. Flavanoid

Flavonoid merupakan metabolit sekunder dari polifenol, yang tersebar luas pada tumbuhan dan makanan serta memiliki berbagai efek bioaktif, antara lain sebagai antivirus, antiinflamasi, kardioprotektif, antidiabetes, antikanker, antipenuaan, antioksidan, dan lain-lain. (Arifin, 2018)

Flavonoid memiliki beberapa efek biokimia dan antioksidan yang berkaitan dengan berbagai penyakit seperti kanker, alzheimer, aterosklerosis dan lain-lain. Flavonoid sering dikaitkan dengan berbagai manfaat kesehatan dan merupakan komponen penting dalam banyak aplikasi nutrisi, farmasi, obat-obatan, dan kosmetik. Hal ini karena aktivitas antioksidan, antiinflamasi, mutagenik, antimikroba, antikarsinogenik, vaskular dan anti-radikal bebas yang kuat. (Karak, 2019)

b. Fenolik

Senyawa fenolik merupakan senyawa yang memiliki gugus hidroksil yang banyak ditemui pada tumbuhan. Senyawa ini terdapat keragaman struktural mulai dari fenol sederhana hingga fenol kompleks maupun komponen yang terpolimerisasi. Senyawa fenolik memiliki banyak manfaat bagi kesehatan seperti antioksidan, antikarsinogenik, antimikroba dan sebagainya. (Nurud Diniyah, 2020)

c. Saponin

saponin adalah salah satu golongan senyawa amfifilik mempunyai berat molekul yang tinggi dengan kandungan triterpenoid dan aglikon dalam bentuk gula lipofilik dan hidrofilik. Molekul besar terdiri dari dua bagian yang dihubungkan oleh ikatan glikosidik, bagian saponin (aglikon) dan bagian

gula (glikon). Bagian karbohidrat dapat diturunkan dari berbagai rantai oligosakarida seperti glukosa, galaktosa, pentosa dan sejenisnya. Saponin dapat berupa steroid atau triterpenoid. (Nguyen, 2020)

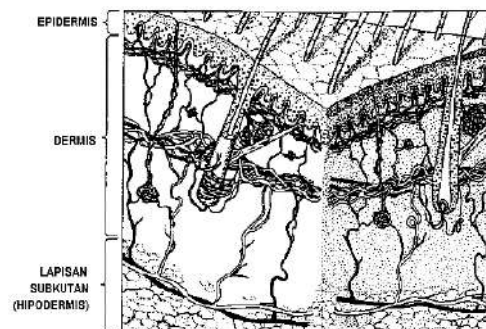
d. Tanin

tanin merupakan zat organik yang dapat ditemukan didalam tumbuhan yang dapat larut didalam air. Tanin adalah senyawa polifenol kompleks dengan polisakarida yang dapat mengendapkan protein. (Rahmawati, 2018)

B. Kulit

1) Struktur Kulit

Kulit terdiri dari dua lapisan utama, epidermis dan dermis. Epidermis adalah jaringan epitel yang berasal dari ektoderm sedangkan dermis adalah jaringan ikat yang cukup padat yang berasal dari mesoderm. Di bawah dermis terdapat lapisan jaringan ikat longgar yang disebut hipodermis, yang di beberapa area sebagian besar terdiri dari jaringan lemak (Kalangi, 2013).



Gambar 2. Struktur kulit

a. Lapisan Epidermis

Epidermis adalah lapisan terluar kulit dan terdiri dari epitel skuamosa bertingkat dengan lapisan stratum bertingkat. Epidermis hanya terdiri dari jaringan epitel, tidak memiliki pembuluh darah atau kelenjar getah bening; Oleh karena itu, semua nutrisi dan oksigen diperoleh dari kapiler lapisan dermal. (Kalangi, 2013)

Epitel skuamosa bertingkat dari epidermis terdiri dari beberapa lapisan sel yang disebut keratinosit. Sel-sel ini terus-menerus diperbaharui oleh mitosis sel-sel di lapisan basal, yang secara bertahap berpindah ke permukaan epitel. Selama perjalanannya, sel-sel ini berdiferensiasi, membesar, dan menumpuk filamen keratin di sitoplasma. Mendekati permukaan, sel-sel ini mati dan terus menerus luruh (dengan pemukulan). Waktu yang dibutuhkan untuk mencapai permukaan adalah 20-30 hari. Perubahan struktural yang terjadi selama perjalanan ini disebut sitomorfosis sel epidermis. Bentuknya berubah pada tingkat yang berbeda di epitel, yang memungkinkannya dibagi menjadi bagian histologis yang tegak lurus dengan permukaan kulit. (Kalangi, 2013)

Epidermis terdiri dari lima lapisan, yaitu dari dalam ke luar, stratum basale, stratum spinosum, stratum granulosum, stratum lusidum dan stratum korneum.

b. Lapisan dermis

Dermis terdiri dari lapisan papiler dan lapisan jaringan, batas antara kedua lapisan tidak jelas, serat di antara keduanya saling terkait. Stratum papillaris lapisan ini memiliki struktur yang lebih longgar dan ditandai dengan adanya papila dermal, jumlahnya bervariasi antara 50 dan 250/mm². Lapisan retikuler lapisan ini

lebih tebal dan lebih dalam. Ikatan kasar kolagen dan sejumlah kecil serat elastin membentuk jaringan yang padat dan tidak beraturan. (Kalangi, 2013)

c. Lapisan subkutis

Lapisan subkutan di bawah dermis retikuler disebut hipodermis. Ini adalah jaringan ikat yang lebih longgar dengan sebagian besar serat kolagen halus sejajar dengan permukaan kulit, yang sebagian menyatu dengan dermis. Di beberapa area, seperti punggung tangan, memungkinkan kulit bergerak di atas struktur yang mendasarinya. Di daerah lain, lebih banyak serat yang mencapai dermis dan relatif sulit untuk menggerakkan kulit. Ada lebih banyak sel lemak daripada di dermis. Jumlahnya tergantung jenis kelamin dan status gizi. Lemak subkutan cenderung menumpuk di area tertentu. Ada sedikit atau tidak ada lemak di jaringan subkutan kelopak mata atau penis, tetapi mungkin ada 3 cm atau lebih lemak di perut, paha, dan bokong. Lapisan lemak ini disebut *panniculus adiposus* (Kalangi, 2013).

2) Warna Kulit

Kulit berusaha melindungi diri dan organ di bawahnya dari bahaya sinar matahari, misalnya dengan membuat butiran pigmen kulit (melanin) yang sedikit banyak memantulkan sinar matahari. Saat kulit terpapar sinar matahari, misalnya berjemur, terjadi dua jenis reaksi melanin:

- a) Penambahan melanin dengan cepat ke permukaan kulit
- b) Pembentukan tambahan melanin baru (Latifa, 2007)
- c) Warna kulit terutama ditentukan oleh oxyhemoglobin yang berwarna merah. Hemoglobin ketika tereduksi akan berwarna merah kebiruan, melanin

berwarna coklat, keratohyalin yang membuat kulit tampak buram, dan stratum korneum yang berwarna putih kekuningan atau keabu-abuan. (Latifa, 2007)

Dari semua penyusun warna kulit, warna kulit paling ditentukan oleh pigmen. Jumlah, jenis, ukuran dan distribusi pigmen melanin ini menentukan variasi warna kulit. Semakin banyak melanin diproduksi, semakin gelap warna kulit. (Latifa, 2007)

Melanin dan mekanisme pigmentasi (tanning) merupakan pigmen alami kulit yang memberikan warna coklat. Proses pembentukan pigmen melanin terjadi pada butiran melanosom yang dihasilkan oleh sel melanosit yang terletak di antara sel keratinosit lapisan basal (stratum germinativum). Pembentukan melanosom di dalam melanosit melalui 4 fase yaitu: (Latifa, 2007)

- a. Fase I : permulaan pembentukan melanosom dari matriks protein dan tirosinase, diliputi membran dan berbentuk vesikula bulat.
- b. Fase II : premelanosom, pembentukan belum sempurna tidak terlihat pembentukan melanin.
- c. Fase III : mulai terlihat adanya deposit melanin di dalam membran vesikula. dan mulai terjadi melanisasi melanosom
- d. Fase IV : deposit melanin memenuhi melanosom yang merupakan partikel-partikel padat dan berbentuk sama.

3) Eritema dan Pigmentasi

- a. Reaksi *sunburn* (eritema)

Penyinaran sinar matahari yang singkat pada kulit dapat menyebabkan kerusakan epidermis sederhana, gejalanya biasa disebut

"Sunburn". Sinar matahari dapat menyebabkan eritema ringan hingga luka bakar yang nyeri. Eritema umumnya akan terjadi sebelum 10-24 jam, Pada orang berkulit terang paparan energi sinar UV-B sebesar 20-27 mJ/cm² akan menimbulkan eritema minimal (Pathak,1982).

Reaksi eritema ini selain disebabkan karena kerusakan cell prickle epidermis yang berakibat terjadi *oedema* juga terjadi pelepasan *histamine like substance* karena mast sel pada lapisan dermis mengalami lisis, sehingga timbul vasodilatasi.

Derajat Sunburn yang ditimbulkan oleh spektrum sinar UVB berdasarkan frekuensi dan lamanya penyinaran digolongkan menjadi empat, yaitu :

1) *Minimal Percetible Erythema*

Pada kulit timbul warna kemerahan (merah muda) akibat kontak sinar matahari selama 20 menit

2) *Vivid Erythema*

Pada kulit timbul warna merah terang, tanpa disertai rasa sakit akibat kontak sinar matahari selama 50 menit

3) *Painful Burn*

Disamping timbul *vivid erythema* juga disertai rasa sakit yang ringan pada kulit akibat kontak sinar matahari selama 100 menit.

4) *Blistering Burn*

Disamping timbul *vivid erythema* juga disertai rasa sakit yang hebat sekali bahkan terjadi pengelupasan dan pelepasan kulit, akibat kontak dengan sinar matahari selama 200 menit.

b. Reaksi *Tanning (pigmentasi)*

Reaksi pigmentasi selain ditimbulkan oleh radiasi spektrum sinar UV, juga spektrum sinar tampak. Tetapi derajat pigmentasi yang ditimbulkan sangat bervariasi tergantung frekuensi dan lamanya penyinaran.

1) *Immediate Tanning*

Dalam waktu beberapa menit setelah kulit terkena sinar matahari, timbul warna kegelapan (pigmentasi) yang segera, dan mencapai puncaknya satu jam kemudian. Selanjutnya warna kegelapan pada kulit mulai hilang antara dua sampai empat jam kemudian.

Reaksi tersebut terjadi karena fotooksidasi granula-granula melanin yang berada di permukaan lapisan epidermis kulit akibat radiasi sinar UV pada rentang panjang gelombang 300-600 nm, dan mencapai puncak pada panjang gelombang 340-360 nm.

2) *Delayed Tanning*

Sehari setelah kontak sinar matahari pada kulit timbul warna kegelapan. Tapi warna gelap tersebut sudah tampak satu

jam setelah terkena sinar matahari dan mencapai puncak 10 jam kemudian, selanjutnya hilang antara 100-200 jam.

Reaksi tersebut terjadi karena migrasi granul-granul melanin yang terdapat pada stratum basale epidermis kulit ke permukaan kulit akibat terbentuknya sel-sel melanosom baru.

3) *True Tanning*

Kira-kira dua sampai tiga hari setelah kontak sinar matahari pada kulit timbul warna kegelapan, dan mencapai puncak maksimal antara dua sampai tiga minggu kemudian. Warna kegelapan pada kulit hilang antara 10-12 bulan kemudian.

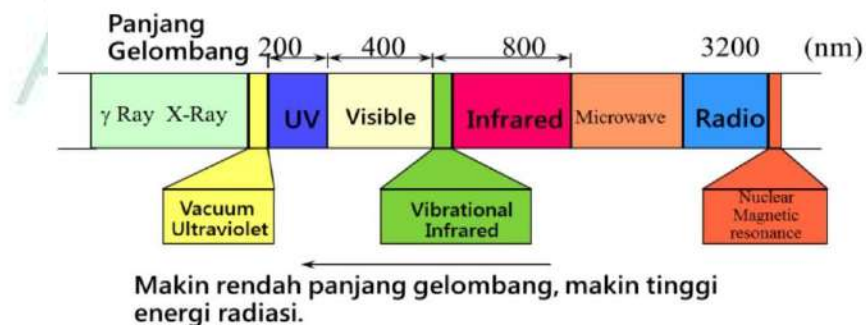
Reaksi tersebut terjadi karena penumpukan granul-granul melanin akibat proliferasi sel-sel melanosit pada stratum basale epidermis kulit.

C. Sinar Ultraviolet (UV)

Sinar ultraviolet adalah bagian dari spektrum (cahaya) tampak. sumber UV Yang terbesar adalah gelombang elektromagnetik yang dihasilkan dari radiasi cahaya matahari menembus atmosfer dan stratosfer hingga ke permukaan bumi. Sinar UV yang dihasilkan dari radiasi matahari juga dapat dihasilkan dari sumber lain cahaya buatan atau hasil karya manusia (buatan) dalam kehidupan sehari-hari, Seperti Tabung lampu TL (fluoresensi), pengelasan (welding), penempaan dan pengecoran logam (metal forming) dan lain-lain (Bismo, 2006).

Aturan umum radiasi gelombang elektromagnetik adalah semakin banyak. Semakin pendek panjang gelombang cahaya, semakin kuat daya pancarnya. radiasi UV adalah radiasi elektromagnetik dengan panjang gelombang lebih pendek dari kisaran sinar tampak, tetapi lebih panjang dari sinar-X kecil. Panjang gelombang sinar *ultraviolet* dapat dibagi menjadi 3 bagian, yaitu (Bismo, 2006):

1. UV-A yaitu sinar dengan panjang gelombang antara 400-315 nm dengan efektivitas tertinggi pada 340 nm, yang dapat membuat kulit menjadi warna coklat (browning).
2. UV-B yaitu sinar dengan panjang gelombang antara 315-280 nm dengan efektivitas tertinggi 297,5 nm, yang dapat menimbulkan sengatan surya dan terjadi eritema.
3. UV-C yaitu sinar dengan panjang gelombang di bawah 280 nm, yang dapat merusak jaringan kulit, tetapi sebagian besar telah tersaring oleh lapisan ozon dalam atmosfer. Skematis posisi spektrum gelombang cahaya tampak, sinar inframerah, sinar ultraungu (ultra violet) dibandingkan radiasi cahaya dan atau gelombang elektromagnetik lainnya, termasuk gelombang-gelombang TV, Radio, dan Radar dapat dilihat pada Gambar. 1 di bawah ini :



Gambar 3. Spektrum Elektromagnetik (Bismo, 2006)

D . Tabir Surya

Tabir surya merupakan salah satu contoh produk kosmetik pelindung yang tujuan utamanya melindungi kulit dari bahaya sinar matahari, terutama sinar ultraviolet (UV). (Lavi, 2013)

1) Klasifikasi Tabir Surya

Berdasarkan mekanisme kerjanya, bahan aktif tabir surya terbagi menjadi dua bagian, yaitu mekanisme yang memantulkan radiasi matahari (physical blocker) dan mekanisme yang menyerap radiasi matahari (chemical absorber). Tabir surya fisik bekerja dengan cara memantulkan radiasi ultraviolet, kemampuannya berdasarkan ukuran partikel dan ketebalan lapisan, dapat menembus dermis hingga ke lapisan subkutan atau subkutan dan efektif pada spektrum sinar UV-A, UV-B dan tampak, sedangkan tabir surya kimiawi . , mekanisme kerjanya adalah menyerap radiasi ultraviolet dan mengubahnya menjadi energi panas, mereka dapat menyerap hampir 95% radiasi UV-B, yang dapat menyebabkan kulit terbakar (eritema dan kerutan) (Lavi, 2013).

2) Mekanisme proteksi tabir surya terhadap kulit dari sinar ultraviolet

Mekanisme kerja dibahas di bawah ini:

- a. Molekul dalam tabir surya yang menyerap energi dari sinar UV dan kemudian dieksitasi dari keadaan dasar ke tingkat energi yang lebih tinggi.
- b. Ketika molekul yang tereksitasi kembali ke keadaan yang lebih rendah, ia melepaskan energi yang lebih kecil dari energi yang awalnya diserap untuk menyebabkan eksitasi.

- c. Jadi sinar UV berenergi lebih tinggi menjadi lebih rendah setelah energinya diserap oleh bahan kimia.
- d. Energi yang lebih rendah Sinar UV menyebabkan lebih sedikit atau tidak ada sengatan matahari (Lavi, 2013).

3) Metode penentuan potensi tabir surya

Ada beberapa cara untuk menentukan kekuatan suatu preparat tabir surya yaitu:

a. Metode SPF (*Sun Protecting Factor*)

Sun Protection Factor (SPF) adalah indikator yang menjelaskan keefektifan suatu sediaan atau zat yang bersifat melindungi dari UV, semakin tinggi nilai SPF maka semakin tinggi pula tingkat perlindungan yang dapat diberikan kepada kulit (Haeria, 2014)

Sun Protection Factor (SPF) merupakan indikator universal yang menjelaskan tentang keefektifan dari suatu produk atau zat yang bersifat UV protektor, semakin tinggi nilai SPF dari suatu produk atau zat aktif tabir surya maka semakin efektif melindungi kulit dari pengaruh buruk sinar UV (Dutra *et al.*, 2004).

Sun Protecting Factor (SPF) diartikan sebagai jumlah energi UV yang dibutuhkan untuk menimbulkan MED (*Minimal Erytemal Dose*) pada kulit yang terlindungi produk atau zat aktif tabir surya dibandingkan dengan jumlah energi yang dibutuhkan untuk menimbulkan MED tanpa perlindungan produk atau zat aktif tabir surya. Produk atau zat aktif tabir surya berdasarkan nilai SPF-nya yaitu nilai 2 sampai 12 merupakan

perlindungan minimal, nilai 12 sampai 30 sebagai perlindungan sedang dan nilai 30 sebagai perlindungan ultra.

Efektifitas dari suatu sediaan tabir surya dapat ditunjukkan salah satunya adalah dengan nilai sun protection factor (SPF), yang di definisikan sebagai jumlah energi UV yang dibutuhkan untuk mencapai minimal erythema dose (MED) pada kulit yang dilindungi oleh suatu tabir surya, dibagi dengan jumlah energi UV yang dibutuhkan untuk mencapai MED pada kulit yang tidak diberikan perlindungan. MED didefinisikan sebagai jangka waktu terendah atau dosis radiasi sinar UV yang dibutuhkan untuk menyebabkan terjadinya erythema. (Wood & Murphy, 2000).

Pengukuran nilai SPF suatu sediaan tabir surya dapat dilakukan secara in vitro. Metode pengukuran nilai SPF secara in vitro secara umum terbagi dalam dua tipe. Tipe pertama adalah dengan cara mengukur serapan atau transmisi radiasi UV melalui lapisan produk tabir surya pada plat kuarsa atau biomembran. Tipe yang kedua adalah dengan menentukan karakteristik serapan tabir surya menggunakan analisis secara spektrofotometri larutan hasil pengenceran dari tabir surya yang diuji (Gordon, 1993).

Nilai SPF terlebih dahulu dihitung *Area Under Curve* (AUC) dari nilai absorbansi pada panjang gelombang 290-400 nm. Nilai AUC dihitung menggunakan rumus berikut (Haeria, 2014)

$$[AUC] = (Aa+Ab)/2 \times dP_{a-b}$$

Dimana :

Aa = absorbansi pada panjang gelombang a nm

Ab = absorbansi pada panjang gelombang b nm

$dPa-b$ = selisih panjang gelombang a dan b

Total AUC dihitung dengan menjumlahkan AUC dari setiap segmen panjang gelombang. Nilai SPF untuk masing-masing konsentrasi ditentukan dengan menggunakan rumus berikut (Haeria, 2014)

$$\log \text{SPF} = \text{AUC}/(\lambda_n - \lambda_1)$$

λ_n = panjang gelombang terbesar

λ_1 = panjang gelombang terkecil

Menurut FDA (*Food Drug Administration*) pembagian tingkat kemampuan tabir surya sebagai berikut :

Tabel 1. Keefektifan sediaan tabir surya berdasarkan nilai SPF

No	Nilai SPF	Kategori Proteksi Tabir Surya
1.	2-4	Proteksi Minimal
2.	4-6	Proteksi Sedang
3.	6-8	Proteksi Ekstra
4.	8-15	Proteksi Maksimal
5.	>15	Proteksi Ultra

b. Berdasarkan persen transmisi eritema (%Te) dan pigmentasi (%Tp)

Penggolongan tabir surya didasarkan pada persen transmisi sinar UV, bisa dilihat pada tabel dibawah ini

Tabel 2. Keefektifan sediaan tabir surya berdasarkan persen transmisi eritema (%Te) dan pigmentasi (%Tp)

Klasifikasi produk	Persen transmisi sinar ultraviolet (%)	
	<i>Erythema range</i>	<i>Tanning range</i>

<i>Total block</i>	<1,0	3-40
<i>Extra protection</i>	1-6	42-86
<i>Regular suntan</i>	6-12	45-86
<i>Fast tanning</i>	10-18	45-86

Persentase transmisi eritema adalah persentase fluks eritema total yang dimediasi oleh tabir surya. transmisi eritema bahan tabir surya atau fluks merah bahan tabir surya dapat ditentukan secara spektrofotometri dengan mengukur intensitas cahaya yang dipancarkan bahan tabir surya pada panjang gelombang eritematogenik kemudian mengalirkannya dengan fluks eritema/fluks pigmen yang terdapat pada tabel (Widji Soeratri, 2005)

Tabel 3. Faktor efektifitas dan fluks eritema dan pigmentasi pada panjang gelombang 290 – 375 nm (Balsam,1972: 286).

Panjang gelombang (nm)	Intensitas rata-rata (μ Watt/cm ²)	Faktor efektifitas <i>Tanning</i>	Fluks <i>tanning</i> (μ Watt/cm ²)
290 – 295	1,7	0,6500	0,1105
295 – 300	7,0	0,9600	0,6720
300 – 305	20,0	0,5000	1,0000
305 – 310	36,5	0,0550	0,2008
310 – 315	62,0	0,0220	0,1364
315 – 320	90,0	0,0125	0,1125
Total erythemal range, 290-320 nm			2,2332 (76,5%)

320 – 325	130,0	0,0083	0,1079
325 – 330	170,0	0,0060	0,1020
330 – 335	208,0	0,0045	0,0936
335 – 340	228,0	0,0035	0,0798
340 – 345	239,0	0,0028	0,0669
345 – 350	248,0	0,0023	0,0570
350 – 355	257,0	0,0019	0,0448
355 – 360	268,0	0,0016	0,0456
360 – 365	274,0	0,0013	0,0356
365 – 370	282,0	0,0011	0,0310
370 – 375	289,0	0,0008	0,0260
Total tanning range, 320 – 375 nm			0,6942 (23,7%)
Total tanning fluks, 290 – 375 nm			2,9264 (100%)

Semakin rendah persentase transmisi eritema dan pigmentasi pada produk maka semakin sedikit sinar UV yang ditransmisikan, sehingga dapat dikatakan produk tersebut memiliki aktivitas yang tinggi sebagai tabir surya.

Menurut Cumpelik (1972), laju transmisi eritema/pigmen adalah perbandingan jumlah energi sinar UV yang dipancarkan oleh tabir surya pada spektrum eritema/pigmentasi pada setiap panjang gelombang dalam rentang 292,5-372,5 nm. Produk pelindung matahari dapat digolongkan sebagai sunblock (produk yang mampu menyerap hampir semua sinar

UVB dan UVA) jika memiliki tingkat transmisi eritema <1 , sedangkan tingkat transmisi pigmen 3-40%. Ketika persentase transmisi eritema adalah 6-18%, persentase transmisi pigmentasi adalah 45-86%, yang diklasifikasikan sebagai tan, atau kita dapat mengatakan bahwa suatu zat menyerap sebagian besar sinar UV-B dan menyerap sebagian UV-A (Widji Soeratri, 2005).

Menurut Cumpelik (1972), kecepatan transmisi eritema dan pigmentasi ditentukan dengan mengamati nilai absorbansi sampel pada panjang gelombang 292,5–372,5 nm. Nilai transmisi eritema dihitung dengan cara mengalikan nilai transmisi (T) dengan faktor efektivitas eritema (F_e) pada panjang gelombang 292,5-372,5 nm. Untuk nilai transmisi pigmentasi dihitung dengan mengalikan nilai transmisi (T) dengan faktor efektivitas pigmentasi (F_p) pada panjang gelombang 292,5-372,5 nm. Selanjutnya nilai persen transmisi eritema dan pigmentasi dihitung berdasarkan rumus % transmisi eritema yaitu:

$$1. \text{ \% transmisi eritema} = \frac{E_e}{\Sigma F_e}$$

$$2. \text{ \% transmisi pigmentasi} = \frac{E_p}{\Sigma F_p} \text{ (Widji Soeratri, 2005)}$$

E. Spektrofotometer UV-Vis

Spektrofotometer adalah alat yang terdiri dari spektrometer dan fotometer. Spektrometer menghasilkan sinar dari spektrum dengan panjang gelombang tertentu dan fotometer adalah alat pengukur intensitas cahaya yang ditransmisikan, direfleksikan atau diemisikan sebagai fungsi dari panjang gelombang. (Khopkar, 2007).

Dengan spektrofotometri UV-Vis, dapat digunakan untuk menentukan terhadap sampel berupa larutan, gas atau uap. Secara umum, sampel harus diubah menjadi larutan bening. Untuk sampel yang berbentuk larutan, ada beberapa persyaratan pelarut yang digunakan, antara lain:

1. melarutkan sampel dengan sempurna.
2. Pelarut tidak mengandung ikatan rangkap terkonjugasi pada struktur molekulnya dan tidak berwarna (tidak boleh mengabsorpsi sinar yang dipakai oleh sampel)
3. Tidak ada interaksi dengan molekul senyawa yang dianalisis
4. Kemurniannya harus tinggi (Suhartati, 2013)

Kisaran panjang gelombang sinar ultraviolet (UV) adalah 100-400 nm sedangkan cahaya tampak (Vis) adalah 400-750 nm, cahaya mulai dari tidak berwarna-ungu-merah. Secara umum, senyawa organik dengan hanya ikatan sigma menyerap panjang gelombang UV di bawah 200 nm; Penyerapan pada panjang gelombang ini disebut penyerapan dalam rentang ultraviolet vakum (kisaran di bawah 200 nm), rentang di mana sulit untuk mendapatkan informasi tentang struktur molekul organik (Suhartati, 2013).

Biasanya spektrum UV-Vis adalah berbentuk pita lebar, pita lebar dalam spektrum UV-Vis menyebabkan energi yang diserap selain menyebabkan transisi elektronik juga mencakup transisi dalam rotasi dan getaran elektron ikatan elektron dalam molekul. Perbedaan energi transisi itu kecil dan transisi dari keadaan dasar dapat terjadi dari masing-masing ke setiap negara transisi, jadi karena itu pita yang lebar diperoleh (Suhartati, 2013).

Suatu spektrofotometer tersusun dari sumber spektrum tampak yang kontinu, monokromator, sel pengabsorpsi untuk larutan sampel atau blanko dan suatu alat untuk mengukur perbedaan absorpsi antara sampel dan blanko ataupun pembanding (Khopkar, 2007).

1. Sumber cahaya; sumber yang biasa digunakan pada spektroskopi absorpsi adalah lampu wolfram. Arus cahaya tergantung pada tegangan lampu. Lampu hidrogen atau lampu deuterium digunakan untuk sumber pada daerah UV.

Lampu tungstein merupakan campuran dari filamen tungstein gas iodin (halogen), oleh sebab itu lampu tungstein-iodin pada spektrofotometer sebagai sumber radiasi pada daerah sinar tampak dengan rentang panjang gelombang 380-900 nm.

Lampu merkuri adalah suatu lampu yang mengandung uap merkuri tekanan rendah dan biasanya dipakai untuk mengecek, mengkalibrasi panjang gelombang pada spektrofotometer pada daerah ultraviolet khususnya daerah disekitar panjang gelombang 365 nm dan sekaligus mengecek resolusi monokromator.

2. Monokromator berfungsi untuk mendapatkan radiasi monokromatis dari sumber radiasi yang memancarkan radiasi polikromatis. Monokromator pada spektrofotometer biasanya terdiri dari susunan meliputi celah (slit), filter, prisma, kisi dan celah keluar.

- a. Celah (slit)

Celah monokromator adalah bagian yang pertama dan terakhir dari suatu sistem optik monokromator pada spektrofotometer. Celah monokromator

berperan penting dalam hal terbentuknya radiasi monokromatis dan resolusi panjang gelombang.

b. Filter optik

Cahaya tampak yang merupakan radiasi elektromagnetik dengan panjang gelombang 380-780 nm merupakan cahaya putih yang berupa campuran cahaya dengan berbagai panjang gelombang. Filter optik berfungsi untuk menyerap warna komplementer sehingga cahaya tampak yang diteruskan sesuai dengan warna filter optik yang dipakai.

Filter optik yang sederhana dan banyak dipakai terdiri dari kaca yang berwarna. Dengan adanya filter optik sebagai bagian monokromator akan dihasilkan pita cahaya yang sangat sempit sehingga kepekaan analisisnya lebih tinggi. Dan lebih dari itu akan didapatkan cahayahampir monokromatis sehingga akan mengikuti hukum Lambert-Beer pada analisis kuantitatif.

c. Prisma dan Kisi (grating)

Prisma dan Kisi merupakan bagian monokromator yang terpenting. Prisma dan kisi pada prinsipnya mendispersi radiasi elektromagnetik sebesar mungkin supaya didapatkan resolusi yang baik dari radiasi polikromatis.

3. Sel absorpsi; Pada pengukuran di daerah tampak, kuvet kaca dapat digunakan, tetapi untuk pengukuran pada daerah UV menggunakan sel kuarsa karena gelas tidak tembus cahaya pada daerah ini. Umumnya tebal kuvet adalah 10 mm, tetapi yang lebih kecil maupun yang lebih besar tetap dapat digunakan. Sel yang biasa digunakan berbentuk persegi, bentuk silinder juga dapat digunakan. Kuvet yang digunakan harus tertutup untuk pelarut organik. Sel yang baik adalah kuarsa atau gelas hasil leburan serta seragam keseluruhannya.

4. Detektor; Peranan detektor penerima adalah memberikan respon terhadap cahaya pada berbagai panjang gelombang.
5. Amplifier; Amplifier dibutuhkan pada saat sinyal listrik elektronik yang dilahirkan setelah melewati detektor untuk menguatkan karena penguat dengan resistensi masukan yang tinggi sehingga rangkaian detektor tidak terserap habis yang menyebabkan keluaran yang cukup besar untuk dapat dideteksi oleh suatu alat pengukur.

F. Simplisia dan Ekstraksi

1. Pengertian Simplisia

Simplisia adalah istilah yang sering digunakan untuk menyebut bahan obat alami dalam bentuk aslinya atau tidak diubah Simplisia dibagi menjadi:

a. Simplisia nabati

Simplisia nabati adalah simplisia yang berasal dari tumbuhan, dari tumbuhan tersebut dapat diambil bentuk tumbuhan utuh, bagian tumbuhan, sel tumbuhan, atau campuran ketiganya, seperti *Datura Folium* dan *Piperis nigri Fructus* (Mukhriani, 2014).

b. Simplisia hewani

Simplisia hewani adalah simplisia yang berasal dari hewan dapat berupa zat, bentuk utuh atau kandungan didalamnya, tetapi tidak dalam bentuk kimia murni seperti minyak ikan (*Oleum iccoris asseri*) dan madu (*Mel depuratum*) (Mukhriani, 2014)

2. Proses Pembuatan simplisia

a) Pengambilan sampel

Pemanenan dapat dilakukan dengan tangan atau dengan mesin. Dalam hal pemanenan langsung (petik), pemetik harus memilih bagian

tanaman yang diinginkan, mis. daun muda untuk dipetik, daun tua sebaiknya tidak dipanen. dan tidak mengganggu bagian tanaman yang lain. Misalnya, jangan gunakan peralatan logam sederhana yang mengandung senyawa fenolik dan glukosa (Mukhriani, 2014)

b) Sortir basah

Setelah pemanenan dilakukan pemisahan basah (sortasi) untuk memisahkan kotoran dan benda asing, bagian yang tua dan kecil, serta bahan yang lebih halus atau lebih kasar. Tanaman yang baik mengandung tidak lebih dari 2% bahan organik (Mukhriani, 2014)

c) Pencucian

Pencucian bertujuan untuk menghilangkan kotoran dan mengurangi mikroorganisme yang menempel pada bahan. Disarankan untuk segera mencuci setelah panen, karena dapat mempengaruhi kualitas bahan baku. Air bersih digunakan untuk mencuci, misalnya air dari mata air, sumur atau pompa. Menggunakan air kotor dapat mencegah jumlah mikroorganisme dalam bahan berkurang atau bahkan bertambah. Ulangi pencucian/pembilasan 1-2 kali lagi jika masih kotor. Harus diingat bahwa pencucian harus dilakukan secepat mungkin agar zat pada bahan tidak mengalir (Mukhriani, 2014).

d) Perajangan

Pemotongan dilakukan untuk memudahkan proses lain seperti pengeringan, pengemasan, pengolahan dan penyimpanan. Pemangkasan biasanya hanya dilakukan pada bahan yang berukuran besar dan tidak lunak seperti akar, rimpang, batang, bagian buah, dll. Besar kecilnya mesin

pencacah tergantung dari bahan baku yang digunakan dan mempengaruhi kualitas simplisia yang dihasilkan. Memotong terlalu tipis dapat mengurangi bahan aktif bahan tersebut. Sebaliknya jika terlalu kental maka relatif sulit untuk menurunkan kadar air bahan dan memerlukan waktu pengeringan yang relatif lama, serta bahan mudah dibentuk (Mukhriani, 2014).

e) Pengeringan

Pengeringan bagian dapat dilakukan dengan sinar matahari, oven, kipas angin dan pembekuan pada suhu dari 30°C hingga 5000°C. Pengeringan pada suhu yang terlalu tinggi dapat mengganggu fungsi bahan dan menurunkan kualitasnya. Pengeringan juga dimungkinkan dengan kipas pada suhu 40-50 °C. Keunggulan dari jenis kipas angin ini adalah waktu pengeringannya lebih singkat sekitar 8 jam dibandingkan dengan dijemur, karena tahan lebih dari 1 minggu. Selain dua jenis pengering di atas, ada juga pengering baru yang suhunya mendekati suhu ruangan, ruang tertutup dan lebih bersih. Kelemahan dari fresh dryer adalah waktu pengeringannya yang cukup lama, sekitar tiga hari. Untuk daun atau rerumputan, kain hitam dapat ditutup dengan kain hitam, pengering dingin, atau tekanan udara (Mukhriani, 2014).

f) Sortasi kering

Isolasi ini dilakukan untuk memisahkan kotoran seperti akar, pasir, kotoran ayam dan kotoran lainnya dari simplisia. Sortasi adalah langkah terakhir dalam produksi produk kering sederhana sebelum dikemas,

disimpan atau diproses lebih lanjut. Setelah memilih Simplisia, ditimbang untuk menentukan hasil pasca panen (Mukhriani, 2014).

g) Pengemasan

Pengepakan dapat dilakukan di tempat kering sederhana. Kantong plastik, kertas atau kanvas dapat digunakan sebagai jenis kemasan. Persyaratan untuk jenis pengemasan ini adalah untuk memastikan kualitas produk yang dikemas, kemudahan penggunaan, kemudahan penggunaan, perlindungan barang selama pengangkutan, tidak beracun dan tidak memantulkan zat lain. Ini memiliki tampilan dan bentuk yang lebih menarik daripada isinya. Berikan setiap paket dengan label unik seperti: Nama bahan, bahan botani yang digunakan, tanggal pengepakan, batch/kode, nama/alamat produsen, berat bersih, penyimpanan (Mukhriani, 2014).

h) Penyimpanan

Simplisia dapat disimpan di ruangan biasa (suhu ruangan) atau ber-AC. Ruangan harus bersih, relatif kering dan berventilasi baik. Parasit menyukai udara yang hangat dan lembab, jadi ventilasi yang baik sangatlah penting (Mukhriani, 2014).

3. Ekstraksi

Ekstraksi adalah suatu proses dimana bahan baku dipisahkan dari campurannya dengan menggunakan pelarut yang sesuai. Setelah ekstraksi, pelarut disaring dari sampel. Untuk mengisolasi senyawa individu, sulit untuk memisahkan ekstrak asli menggunakan teknik pemisahan tunggal. Oleh karena

itu, ekstrak asli harus dipisahkan menjadi fraksi-fraksi dengan polaritas dan ukuran molekul yang sama (Mukhriani, 2014)

a. Metode Ekstraksi

Metode ekstraksi dibagi menjadi dua cara yaitu cara dingin dan cara panas

I. Ekstraksi Cara Dingin

Ekstraksi cara dingin dapat dibedakan sebagai berikut :

a. Maserasi

Perendaman (maserasi) merupakan metode ekstraksi yang paling sederhana dan paling banyak digunakan. Metode ini cocok untuk skala kecil dan industri. Prosedur ini dilakukan dengan menempatkan bubuk herbal dalam pelarut yang sesuai dalam wadah lembam kedap udara pada suhu kamar. Ekstraksi dihentikan ketika tercapai kesetimbangan antara konsentrasi senyawa dalam pelarut dan dalam sel tanaman. Setelah ekstraksi, pelarut disaring dari sampel. Kerugian utama dari metode perendaman ini adalah sangat memakan waktu dan membutuhkan pelarut dalam jumlah besar dan beberapa senyawa mudah hilang. Di sisi lain, maserasi dapat menghindari kerusakan senyawa yang labil terhadap panas (Mukhriani, 2014).

b. Perkolasi

Pada metode perkolasi, serbuk sampel dibasahi secara bertahap dengan sabun (wadah berbentuk silinder dengan katup di bagian bawah). Pelarut disemprotkan ke permukaan bubuk sampel dan perlahan berdifusi ke dalam tanah. Keuntungan dari metode ini

adalah pelarut baru dituangkan berulang kali ke sampel. Kelemahannya, di sisi lain, pelarut sulit menjangkau semua area jika sampel dalam perkolator tidak homogen (Mukhriani, 2014).

II. Ekstraksi Cara Panas

Ekstraksi cara panas dapat dibedakan sebagai berikut :

1. Refluks

Pada metode refluks, sampel dan pelarut ditempatkan dalam labu yang dihubungkan dengan kondensor. Pelarut dipanaskan sampai titik didih. Uap mengembun dan kembali ke labu (Mukhriani, 2014).

2. Sokletasi

Prosedur ini dilakukan dengan menempatkan serbuk sampel dalam pembungkus selulosa (kertas saring dapat digunakan) dalam klon, yang diletakkan di atas labu dan di bawah kondensor. Pelarut yang sesuai ditambahkan ke labu dan suhu bak diatur di bawah refluks (Mukhriani, 2014).

G. Pelarut

Pelarut adalah zat yang digunakan sebagai media untuk melarutkan zat lain. Keberhasilan penentuan senyawa aktif biologis dari bahan tanaman sangat bergantung pada jenis pelarut yang digunakan dalam proses ekstraksi. Ciri-ciri pelarut ekstraksi yang baik adalah toksisitas pelarutnya rendah, mudah menguap pada suhu rendah, dapat mengekstrak komponen senyawa dengan cepat, awet dan tidak menyebabkan ekstrak membusuk. (Prashant Tiwari, 2011).

Pilihan pelarut juga tergantung pada senyawa target. Faktor yang mempengaruhi pemilihan pelarut adalah jumlah senyawa yang akan diekstraksi, laju ekstraksi, pemilihan senyawa yang akan diekstraksi, kemudahan penggunaan ekstrak untuk proses lebih lanjut, toksisitas pelarut, potensi bahaya kesehatan dari pelarut (Prashant Tiwari, 2011).

Berbagai pelarut yang digunakan dalam prosedur ekstraksi antara lain:

1. Air

Air adalah pelarut umum yang sering digunakan untuk mengekstrak produk tanaman antimikroba. Meskipun air digunakan sebagai pelarut dalam pengobatan tradisional, ekstrak tumbuhan yang berasal dari pelarut organik ditemukan memiliki aktivitas antimikroba yang lebih konsisten daripada ekstrak air. Air juga melarutkan flavonoid (terutama antosianin), yang tidak memiliki aktivitas antimikroba yang signifikan, dan senyawa fenolik yang larut dalam air, yang memiliki aktivitas antioksidan (Prashant Tiwari, 2011).

2. Aseton

Aseton melarutkan beberapa komponen senyawa hidrofilik dan lipofilik tumbuhan. Keunggulan pelarut aseton adalah dapat bercampur dengan air, mudah menguap dan memiliki toksisitas yang rendah. Aseton terutama digunakan untuk studi antimikroba, di mana banyak senyawa fenolik diekstraksi dengan aseton (Prashant Tiwari, 2011).

3. Alkohol

Aktivitas antibakteri yang lebih tinggi dari ekstrak etanol dibandingkan dengan ekstrak air dapat dikaitkan dengan jumlah polifenol yang lebih tinggi dalam ekstrak etanol daripada ekstrak air. Etanol menembus membran sel lebih

mudah untuk mengekstraksi bahan intraseluler daripada bahan tanaman. Metanol lebih polar daripada etanol tetapi tidak cocok untuk ekstraksi karena toksisitasnya (Prashant Tiwari, 2011).

4. Kloroform

Terpenoid lakton diperoleh dengan ekstraksi berurutan menggunakan heksana, kloroform, dan metanol, dengan konsentrasi aktivitas tertinggi pada fraksi kloroform. Kadang-kadang tanin dan terpenoid ditemukan dalam fase air, tetapi lebih sering diperoleh dengan pelarut semi-polar (Prashant Tiwari, 2011).

5. Eter

Umumnya eter digunakan secara selektif untuk ekstraksi kumarin dan asam lemak (Prashant Tiwari, 2011).

6. n-Heksana

n-Hexane memiliki sifat yang sangat non polar, mudah menguap, memiliki bau khas yang dapat menyebabkan ketidaksadaran (pingsan). Berat molekul heksana adalah 86,2 gram/mol dan titik lelehnya adalah -94,3 hingga -95,3 °C. Titik didih n-heksana pada tekanan 760 mmHg adalah 66-71 °C. n-Hexane sering digunakan sebagai pelarut untuk mengekstrak minyak nabati (Prashant Tiwari, 2011).

7. Etil asetat

Etil asetat adalah pelarut dengan sifat semi-polar. Etil asetat secara selektif menarik senyawa semi polar seperti fenol dan terpenoid (Prashant Tiwari, 2011).

H. Tinjauan Islami Ekstrak Etanol Kulit Batang Kayu Jawa (*Lannea coromandelica*)

Matahari merupakan salah satu benda langit yang sangat besar manfaatnya bagi kehidupan. Matahari dapat membantu tanaman untuk mengaktifkan klorofil, memberikan warna hijau, dan mempercepat pertumbuhan, membantu tumbuhan memproduksi oksigen. Matahari merupakan sumber energi bagi tumbuhan yang memiliki manfaat bagi kehidupan manusia.

Dalam pandangan islam dijelaskan bahwa segala yang diciptakan Allah swt. di bumi ini termasuk tumbuh-tumbuhan ada manfaatnya. Allah swt. berfirman dalam (Q.S Asy-syu'araa'/26:7)

أَوَلَمْ يَرَوْا إِلَى الْأَرْضِ كَمْ أَنْبَتْنَا فِيهَا مِنْ كُلِّ زَوْجٍ كَرِيمٍ

Terjemahnya:

“Dan apakah mereka tidak memperhatikan bumi, betapa banyak Kami tumbuhkan di bumi itu berbagai macam pasangan (tumbuh-tumbuhan) yang baik” (Kementerian Agama RI, 2014)

Kata (إِلَى) ilâ/ke pada firman-Nya di awal ayat ini (أَوَلَمْ يَرَوْا إِلَى الْأَرْضِ) awalam yarâ ilâ al-ardh/apakah mereka tidak melihat ke bumi merupakan kata yang mengandung makna batas akhir. Ini bertujuan untuk memperluas garis pandang hingga batas akhir. Oleh karena itu, ayat ini mengajak manusia untuk memusatkan pandangannya pada batas-batas penglihatannya, termasuk seluruh bumi dengan berbagai tanah dan tumbuh-tumbuhannya serta berbagai keajaiban yang tersebar pada tumbuh-tumbuhannya (Shihab, 2017).

Dapat dipahami bahwa sebagai manusia sangat penting untuk memperhatikan alam yang ada, terutama tumbuhan. Dengan mengamati tumbuh-tumbuhan seseorang dapat memahami tanda-tanda kekuasaan Allah. Maka harus dipahami bahwa tumbuh-

tumbuhan ciptaan Allah tentunya memiliki banyak manfaat bagi manusia, maka selain pengamatan sederhana juga harus dilakukan pengamatan tentang perkembangan tumbuhan tersebut. Salah satunya adalah mempelajari kandungan tumbuhan dan manfaatnya dalam meningkatkan kesehatan manusia agar tercipta rasa syukur dan meningkatkan keimanan terhadap tanda-tanda kekuasaan Allah.

Kata (زَوْج) zauj berarti pasangan. Pasangan yang dimaksud dalam ayat ini adalah tanaman yang berpasangan karena tanaman muncul di celah-celah bumi yang tersebar di permukaan bumi. Oleh karena itu, ayat ini mengisyaratkan bahwa tumbuhan juga mempunyai pasangan untuk tumbuh dan berkembang. Ada tanaman yang memiliki benang sari dan putik, sehingga kawin dan tidak membutuhkan jantan dari bunga lain untuk penyerbukan, dan ada yang hanya memiliki salah satunya, artinya membutuhkan pasangan. Jelas bahwa setiap tanaman memiliki pasangannya dan siapa saja yang ingin menggunakan matanya dapat melihat kapan saja. Oleh karena itu ayat di atas diawali dengan pertanyaan, apakah mereka tidak melihat, sebuah pertanyaan yang mengandung unsur keheranan bagi mereka yang tidak membuka matanya untuk melihat bukti yang begitu jelas (Shihab, 2017).

Kata (كَرِيم) karim digunakan antara lain untuk menggambarkan sesuatu yang baik untuk objek apapun yang digambarkannya. Tanaman yang baik setidaknya berbuah dan bermanfaat (Shihab, 2017).

Dari ayat ini dapat disimpulkan bahwa manusia hendaknya memperhatikan dan merenungkan tanda-tanda kekuasaan Allah yang diciptakannya. Allah SWT. Menumbuhkan berbagai macam pasang tanaman di muka bumi ini masing-masing memiliki banyak sekali manfaat seperti tanaman pohon kayu jawa dimana tanaman ini dapat tumbuh subur dimana saja dan tanaman ini juga dikenal banyak manfaatnya bagi

kesehatan dan telah lama di jadikan tanaman obat. Tanaman kayu jawa memiliki beberapa kandungan kimia sehingga dapat dimanfaatkan sebagai obat luka, mengatasi memar, mengobati pembengkakan akibat keseleo. Selanjutnya, Allah SWT. Menciptakan matahari untuk memberikan energi bagi manusia dan tumbuh-tumbuhan.

Sebagaimana diriwayatkan oleh Abi Hurairah ra bahwa Rasulullah bersabda :

مَا أَنْزَلَ اللَّهُ دَاءً إِلَّا أَنْزَلَ لَهُ شِفَاءً (رواه البخاري)

Artinya :

Dari Abu Hurairah ra, dari nabi saw, bersabda ; “Allah tidak menurunkan penyakit kecuali dia juga menurunkan obatnya”. (H.R. Al-Bukhari)

Islam sangat menghargai bentuk-bentuk pengobatan yang di dasari oleh ilmu pengetahuan melalui, penelitian dan eksperimen ilmiah. Oleh karena itu setiap pengobatan hendaklah ditangani oleh para ahlinya. Karena setiap penyakit pasti ada obatnya, bukan berarti tumbuhan yang menyembuhkan tetapi atas izin Allah tidak ada yang sia-siat termasuk tumbu-tumbuhan yang beraneka ragam yang memerlukan penelitian.

Dalam *Q.S An-Naba’/78: 13*, Allah swt. berfirman:

وَجَعَلْنَا سِرَاجًا وَهَّاجًا
UNIVERSITAS ISLAM NEGERI

Terjemahnya:

“Dan Kami menjadikan pelita yang terang-benderang (matahari)” (Kementerian Agama RI, 2014).

Dan Kami telah menjadikan pelita, yakni matahari yang sangat terang dan menghasilkan panas sampai batas waktu yang Kami kehendaki. Mengenai matahari, penemuan ilmiah telah menunjukkan bahwa suhu permukaan matahari mencapai enam ribu derajat. Panas pusat Matahari mencapai 30 juta derajat, disebabkan oleh material bertekanan tinggi di Matahari. Sinar matahari menghasilkan energi berupa radiasi

ultraviolet 9%, cahaya 46% dan radiasi infra merah 45%, oleh karena itu ayat diatas menamai matahari sebagai (سِرَاجًا) sirajan/pelita karena mengandung cahaya dan panas secara bersamaan (Shihab, 2017).

Terlihat jelas bahwa matahari memiliki sinar yang sangat terang dan panas. Sinar matahari ini mengandung sinar ultraviolet, yang jika tubuh terlalu sering dan terlalu lama terpapar sinar matahari, sinar ultraviolet matahari dapat berdampak buruk bagi kesehatan kulit. Sinar UV-A mempengaruhi penuaan atau masalah usia, sedangkan sinar UV-B menyebabkan sunburn atau kulit terbakar. Kedua sinar UV tersebut juga dapat menyebabkan kanker kulit.

Oleh karena itu manusia hendaknya memperhatikan alam ini terutama tumbuh-tumbuhan dan mempelajari kandungannya sehingga dapat dimanfaatkan sesuai dengan kebutuhan manusia, sama halnya dengan tanaman kayu jawa. Kulit batang kayu Jawa mengandung senyawa fenolik dan flavanoid. Senyawa ini diketahui dapat melindungi jaringan tanaman dari kerusakan akibat paparan sinar matahari. Oleh karena itu, penelitian ini dilakukan untuk mengetahui potensi kulit batang kayu jawa sebagai tabir surya.

BAB III

METODOLOGI PENELITIAN

A. Jenis Penelitian

Penelitian ini menggunakan rancangan kuantitatif yang bertujuan untuk mengetahui potensi tabir surya pada ekstrak kulit batang kayu jawa (*Lannea coromandelica*)

B. Pendekatan Penelitian

Sesuai dengan permasalahan dan uraian pada latar belakang, penelitian ini dilakukan dengan menggunakan pendekatan eksperimental.

C. Lokasi dan Waktu Penelitian

1. Lokasi Penelitian

Penelitian ini dilaksanakan di Laboratorium Fitokimia Farmasi dan Laboratorium Kimia Farmasi Fakultas Kedokteran dan Ilmu Kesehatan Universitas Islam Negeri Alauddin Makassar.

2. Waktu Penelitian

Penelitian ini dilakukan pada bulan September – Desember 2022

D. Populasi dan Sampel

1. Populasi

Tanaman kayu jawa (*Lannea coromandelica*) berasal dari daerah Dusun Batujala, Desa Batujala Kec. Bontoramba, Kab. Jeneponto.

2. Sampel

Pada penelitian ini digunakan sampel yaitu kulit batang kayu jawa (*Lannea coromandelica*) berasal dari daerah Dusun Batujala, Desa Batujala Kec. Bontoramba, Kab. Jeneponto.

E. Alat dan Bahan

1. Alat

Alat-alat yang digunakan pada penelitian ini adalah wadah maserasi, cawan porselin, gelas ukur, kuvet, labu tentukur, erlenmeyer, corong, neraca analitik, pipet tetes, spektrofotometer UV-Vis, rotary evaporator, dan hair dryer.

2. Bahan

Bahan-bahan yang digunakan pada penelitian ini adalah kulit batang kayu jawa (*Lannea coromandelica*), pelarut etanol 70 %, aquadest.

F. Prosedur Kerja

1. Penyiapan Sampel

Sampel kulit batang kayu jawa (*Lannea coromandelica*) segar disortasi basah, selanjutnya dilakukan pengupasan kulit bagian luar dan bilas dengan air bersih mengalir. Pengelupasan kulit bagian luar dilakukan karena kulit bagian luar merupakan bagian kayu yang telah mati dan biasanya terdapat jamur yang menempel pada kulit tersebut (Dumanauw 1990). Sampel kemudian dipotong kecil-kecil dan dikeringkan di dalam lemari pengering. Selanjutnya, sampel

yang telah kering disortasi kering dan dihaluskan hingga diperoleh serbuk simplisia kering yang siap untuk dilanjutkan pada tahap selanjutnya.

2. Ekstraksi Sampel

Metode ekstraksi yang digunakan dalam penelitian ini yaitu maserasi, kulit batang kayu jawa mengandung senyawa yang tidak tahan terhadap panas, yaitu *flavonoid* sehingga digunakan metode ekstraksi secara maserasi.(Gupita, 2012).

Ditimbang simplisia sebanyak 300 gr kemudian dimasukkan ke dalam wadah maserasi dibasahi dengan etanol 70% hingga sampel terendam seluruhnya kemudian diaduk. Wadah maserasi ditutup dan disimpan selama 3x24 jam ditempat yang tanpa penyinaran matahari (ruang gelap) dengan pengadukan setiap harinya. selanjutnya disaring, dipisahkan antara ampas dan filtrat. Ampas diekstraksi kembali dengan pelarut etanol 70%. Hal ini dilakukan sebanyak sebanyak 3 kali maserasi selama masa penyimpanan 3x24 jam kemudian, filtrat yang diperoleh di rotavapor dan diuapkan hingga diperoleh ekstrak etanol yang kental. kemudian, ekstrak yang diperoleh ditimbang dengan menggunakan neraca analitik.

G. Teknik Pengolahan Data dan Analisis Data

1. Teknik Pengolahan Data

Data yang dikumpulkan adalah data primer yang didapat dari nilai absorbansi dan nilai transmitten yang diukur untuk penentuan potensi tabir surya. Pada penelitian ini potensi tabir surya ekstrak kulit batang kayu jawa ditentukan

berdasarkan nilai SPF, persen transmisi eritema (%Te) dan transmisi pigmentasi (%Tp). Ditimbang 0,1 gr ekstrak kulit batang kayu jawa kemudian dilarutkan dengan 100 ml pelarut etanol 70% dan dimasukkan ke dalam labu tentukur, diperoleh suatu konsentrasi (Larutan stok) 1000 ppm, kemudian larutan stok diencerkan hingga diperoleh 5 konsentrasi yaitu 100 ppm, 150 ppm, 200 ppm, 250 ppm dan 300 ppm. Diamati nilai transmisi dan serapannya pada panjang gelombang 290-400 nm dengan perubahan setiap kali pengamatan.

2. Analisis Data

a. Nilai *Sun Protecting Factor* (SPF)

Untuk menentukan nilai SPF diukur nilai absorbansi pada panjang gelombang 290 - 400 nm dengan interval 5 nm, kemudian dihitung terlebih dahulu luas daerah dibawah kurva (AUC) dengan menggunakan rumus berikut:

$$\{AUC\} = \frac{Aa+Ab}{2} \times dPa - b$$

Aa = absorbansi pada panjang gelombang a nm

Ab = absorbansi pada panjang gelombang b nm

dPa-b = selisih panjang gelombang a dan b

Nilai total AUC dihitung dengan menjumlahkan nilai AUC pada tiap segmen panjang gelombang. Nilai SPF masing-masing konsentrasi ditentukan menggunakan rumus berikut:

$$\text{Log SPF} = \frac{AUC}{\lambda_1 - \lambda_n}$$

$$\text{Nilai SPF} = \text{Antilog SPF}$$

λ_n = panjang gelombang terbesar (dengan $A > 0,05$ untuk ekstrak dengan $A > 0,01$ untuk sediaan)

λ_1 = panjang gelombang terkecil (290 nm)

b. Nilai Persen Eritema (%Te)

Untuk menentukan nilai persen transmisi eritema diukur nilai transmittan pada panjang gelombang 292,5 – 317,5 nm dengan interval 5 nm. Persen transmisi eritema dihitung dengan menggunakan rumus berikut :

1. Nilai transmisi eritema adalah T.Fe. Perhitungan nilai transmisi eritema tiap panjang gelombang (panjang gelombang 292,5 – 317,5 nm).

2. Banyaknya fluks eritema yang diteruskan oleh bahan tabir matahari (E_e) dihitung dengan rumus : $E_e = \Sigma T.Fe$

3. Kemudian % transmisi eritema dihitung dengan rumus :

$$\% \text{ transmisi eritema} = \frac{E_e}{\Sigma Fe}$$

Dimana :

T = Nilai transmisi

Fe = Fluks eritema

$E_e = \Sigma T.Fe$ = banyaknya fluks eritema yang diteruskan oleh ekstrak panjang gelombang 292,5 – 317,5 nm

c. Persen Transmisi Pigmentasi

Untuk menentukan nilai persen transmisi pigmentasi diukur nilai transmittan pada panjang gelombang 322,5-372,5 nm dengan interval 5 nm Nilai persen transmisi pigmentasi dihitung dengan cara sebagai berikut :

1. Nilai transmisi pigmentasi adalah $T.F_p$. Perhitungan nilai transmisi pigmentasi tiap panjang gelombang (panjang gelombang 322,5 – 372,5 nm).
2. Banyaknya fluks pigmentasi yang diteruskan oleh bahan tabir surya (E_p) dihitung dengan rumus $E_p = \Sigma T.F_p$
3. Kemudian % transmisi pigmentasi dihitung dengan rumus: % transmisi pigmentasi = $\frac{E_p}{\Sigma F_p}$

Dimana :

T = nilai transmisi

F_p = fluks pigmentasi

$E_p = \Sigma T.F_p$ = banyaknya fluks pigmentasi yang diteruskan oleh ekstrak pada panjang gelombang 322,5 – 372,5 nm

ΣF_p = Jumlah total energi sinar UV yang menyebabkan pigmentasi

BAB IV

HASIL DAN PEMBAHASAN

A. Hasil

1. Hasil Ekstraksi Kulit Batang Kayu Jawa (*Lannea coromandelica*)

Penelitian dilakukan dengan menggunakan 1,7 kg kulit batang kayu jawa (*Lannea coromandelica*) kemudian dikeringkan dijemari pengering, dan diperoleh 300 gram simplisia kulit batang kayu jawa kemudian diekstraksi secara maserasi dengan menggunakan etanol 70% sebanyak 5 liter. Diperoleh ekstrak kental sebanyak 56 gr.

Tabel 4. Hasil Ekstrak Etanol Kulit Batang Kayu Jawa (*Lannea coromandelica*)

Berat Sampel	Berat Simplisia	Berat Simplisia yang diekstraksi	Jenis Ekstrak	Berat Ekstrak	% Rendemen
1,7 kg	300 gr	300 gr	Ekstrak kental	56 gr	18,9 %

2. Hasil Potensi Tabir Surya Ekstrak Etanol Kulit Batang Kayu Jawa (*Lannea coromandelica*)

a. Nilai Transmisi Eritema

Tabel 5. Nilai % Transmisi Eritema Ekstrak Etanol Kulit Batang Kayu Jawa (*Lannea coromandelica*)

Replikasi	Persen Transmisi Eritema				
	100 ppm	150 ppm	200 ppm	250 ppm	300 ppm
I	2.51%	1.61%	0.89%	0.55%	0.35%
II	3.07%	1.60%	0.88%	0.55%	0.35%
III	3.08%	1.60%	0.88%	0.55%	0.35%
%Te Rata-rata	2.88%	1.60%	0.88%	0.55%	0,35%
<i>Kategori Tabir Surya</i>	<i>Extra Protection</i>	<i>Extra Protection</i>	<i>Total Block</i>	<i>Total Block</i>	<i>Total Block</i>

b. Nilai Transmisi Pigmentasi

Tabel 6. Nilai % Transmisi pigmentasi Ekstrak Etanol Kulit Batang Kayu Jawa (*Lannea coromandelica*)

Replikasi	Persen Transmisi Pigmentasi				
	100 ppm	150 ppm	200 ppm	250 ppm	300 ppm
I	48.32%	41.16%	35.63%	31.20%	27.27%
II	48.30%	41.12%	35.62%	31.23%	27.32%
III	48.35%	41.15%	35.60%	31.23%	27.32%
%Tp Rata-rata	48.32%	41.14%	35.61%	31.22%	27.30%
Kategori Tabir Surya	Extra Protection	Total Block	Total Block	Total Block	Total Block

c. Nilai Sun Protection Factor (SPF)

Tabel 7. Nilai Sun Protection Factor (SPF) Ekstrak Etanol Kulit Batang Kayu Jawa (*Lannea coromandelica*)

Replikasi	Nilai Sun Protection Factor (SPF)				
	100 ppm	150 ppm	200 ppm	250 ppm	300 ppm
I	4.18	5.58	7.25	8.90	10.91
II	4.19	5.59	7.24	8.91	10.88
III	4.17	5.58	7.23	8.91	10.87
Nilai Rata-rata SPF	4.18	5.58	7.24	8.90	10.88
Kategori Tabir Surya	Proteksi Sedang	Proteksi Sedang	Proteksi Ekstra	Proteksi Maksimal	Proteksi Maksimal

B. Pembahasan

Sinar UV memiliki beberapa manfaat untuk tubuh manusia diantaranya untuk mensintesa vitamin D di dalam tubuh dan juga dapat berfungsi membunuh bakteri, di samping manfaat tersebut sinar UV dapat memberikan kerugian pada kulit manusia jika terpapar terlalu lama. Paparan sinar UV dapat menyebabkan kelainan pada kulit seperti pigmentasi, eritema, sensitivitas, penuaan dini hingga kanker kulit. Untuk melindungi kulit dari pengaruh buruk sinar UV dengan cara menggunakan tabir surya (*sunscreen*), efektivitas tabir surya biasanya diukur dengan nilai SPF (*Sun Protection Factor*). Tabir surya memiliki cara kerja dengan memantulkan dan menyerap sinar UV yang dipancarkan oleh sinar matahari (Riestya Abdiana, 2017).

Flavanoid memiliki potensi sebagai tabir surya karena adanya gugus kromofor yang umumnya memberi warna pada tanaman. Dalam penelitian ini digunakan kulit batang kayu jawa (*Lannea coromandelica*) karena memiliki kandungan flavanoid, dan fenol (Umi Calsum, 2018).

Metode ekstraksi yang digunakan yaitu maserasi dikarenakan kulit batang kayu jawa memiliki kandungan flavanoid yang tidak tahan terhadap panas. ditimbang sebanyak 300 gr simplisia kulit batang kayu jawa (*Lannea coromandelica*) dimasukkan ke dalam wadah maserasi ditambahkan pelarut etanol 70% sebanyak 2 liter (sampai simplisia terendam sepenuhnya) kemudian diaduk, wadah maserasi ditutup dan disimpan di tempat yang terhindar dari sinar matahari (ruangan gelap) selama 3x24 jam (3 hari) dengan pengaduk setiap hari. Dipisahkan antara ampas dan filtrat, kemudian ampas diekstraksi kembali dengan etanol 70% sebanyak 3x ekstraksi. Filtrat yang diperoleh dari hasil maserasi disaring dengan menggunakan kertas saring untuk

memperoleh hasil ekstraksi yang jernih, kemudian filtrat tersebut di rotary evaporator dan diuapkan dengan menggunakan hair dryer sehingga diperoleh ekstrak kental kulit batang kayu jawa (*Lannea coromandelica*).

Penggunaan etanol sebagai pelarut karena etanol dapat menarik senyawa aktif yang lebih banyak dibandingkan jenis pelarut lainnya. Etanol memiliki titik didih yang rendah yaitu 79 °C sehingga memerlukan panas yang lebih sedikit untuk proses pemekatan. Etanol 70 % merupakan pelarut yang lebih polar dari etanol 96% dan lebih non polar dari etanol 50% sehingga senyawa yang sifatnya polar akan cenderung terlarut lebih banyak dalam etanol 70% (Pramudita Riwanti, 2020).

Penentuan potensi tabir surya kulit batang kayu jawa (*Lannea coromandelica*) secara in vitro dengan metode spektrofotometri untuk menentukan nilai absorbansi dan nilai transmitten pada tiap panjang gelombang. nilai absorbansi pada panjang gelombang 290-400 nm dengan interval 5 nm dan nilai % transmitten pada panjang gelombang 292,5-372,5 nm dengan interval 5 nm. Penentuan potensi tabir surya ini dilakukan dengan menghitung nilai *sun protection factor* (SPF), persen transmisi eritema (%Te) dan persen transmisi pigmentasi (%Tp). Penentuan %Te dan SPF adalah untuk menunjukkan efektivitas tabir surya terhadap UV-B, sedangkan untuk %Tp adalah untuk menunjukkan efektivitas tabir surya terhadap UV-A (RR. Asih Juanita, 2020).

Dari pengujian tersebut didapatkan hasil perhitungan nilai rata-rata persen transmisi eritema (%Te) pada konsentrasi 100 ppm, 150 ppm, 200 ppm, 250 ppm, dan 300 ppm berturut-turut adalah 2,88%, 1,60%, 0,88%, 0,55%, dan 0,35%. Untuk hasil perhitungan nilai rata-rata persen transmisi pigmentasi (%Tp) pada konsentrasi 100

ppm, 150 ppm, 200 ppm, 250 ppm, dan 300 ppm berturut-turut adalah 48,32%, 41,14%, 36,61%, 31,22%, dan 27,30%. Sedangkan perhitungan nilai rata-rata *Sun Protection Factor* (SPF) kulit batang kayu jawa (*Lannea coromandelica*) pada konsentrasi 100 ppm, 150 ppm, 200 ppm, 250 ppm, dan 300 ppm berturut-turut adalah 4,18, 5,58, 7,24, 8,90, dan 10,88.

Nilai persen transmisi eritema (%Te) merupakan suatu nilai yang menggambarkan kemampuan molekul kimia untuk memproteksi kulit dari sinar UV yang menyebabkan eritema, yaitu banyaknya energi sinar UV yang di teruskan pada radiasi sinar UV-B (292,5-337,5 nm). Eritema adalah munculnya bercak kemerahan pada kulit yang terjadi karena proses inflamasi setelah terpapar sinar matahari dalam kurung waktu 2-3 jam, yang berkembang dalam 10-24 jam akibat dari kerusakan sel yang menyebabkan terlepasnya zat mirip/histamin sehingga terjadi pelebaran pembuluh darah dan eritema (Siti Hasanah, 2015).

Nilai persen transmisi pigmentasi (%Tp) adalah suatu nilai yang menggambarkan kemampuan molekul kimia untuk memproteksi kulit dari sinar UV yang menyebabkan pigmentasi, yaitu banyaknya energi sinar UV yang di teruskan pada radiasi sinar UV-A (322,5-372,5 nm). Pigmentasi merupakan terjadinya perubahan warna kulit yang tidak merata atau lebih gelap akibat paparan sinar matahari dalam waktu 24 jam dan puncaknya pada hari ke 8 (Siti Hasanah, 2015).

Berdasarkan pada pengukuran nilai rata-rata % transmisi eritema pada konsentrasi 100 ppm dan 150 ppm masuk dalam kategori *Ekstra Protection*, pada konsentrasi 200 ppm, 250 ppm, dan 300 ppm, masuk dalam kategori *Total Block*. Untuk nilai rata-rata % transmisi pigmentasi pada konsentrasi 100 ppm masuk dalam

kategori *Ekstra Protection*, untuk konsentrasi 150 ppm, 200 ppm, 250 ppm, 300 ppm, masuk dalam kategori *Total Block*.

Fast tanning adalah kemampuan suatu molekul kimia tabir surya yang dapat menggelapkan kulit secara cepat tanpa menimbulkan eritema dengan mampu memberikan transmisi penuh pada radiasi UV-A untuk memberikan efek penggelapan yang maksimal.

Regular suntan adalah kemampuan suatu molekul kimia tabir surya yang melindungi kulit yang normal atau kulit yang tidak sensitif terhadap sinar UV dan merupakan tabir surya yang dapat menggelapkan kulit dengan mengabsorpsi 85% atau lebih radiasi sinar UV-B yang menghasilkan sedikit eritema tanpa rasa sakit.

Ekstra protection adalah kemampuan suatu molekul tabir surya melindungi kulit yang memiliki sifat sensitif terhadap sinar UV untuk mencegah terjadinya warna tidak merata (pigmentasi) dan kemerahan (eritema) pada kulit dengan menyerap kurang dari 95% radiasi sinar UV-B dan masih dapat meneruskan 16% sinar UV-B.

Total block adalah kemampuan suatu molekul kimia tabir surya yang dapat memberikan kemampuan maksimal pada kulit yang sensitif dari radiasi sinar UV-B (292,5-337,5 nm) dan UV-A (322,5-372,5 nm) dalam bentuk penghalang fisik dan memproteksi secara total untuk mencegah terjadinya eritema dan pigmentasi (Siti Hasanah, 2015).

Berdasarkan pengukuran nilai rata-rata SPF pada konsentrasi 100 ppm dan 150 ppm menunjukkan kategori *Proteksi Sedang*, untuk konsentrasi 200 ppm masuk dalam kategori *Proteksi Ekstra*, kemudian untuk konsentrasi 250 ppm, dan 300 ppm menunjukkan kategori *Proteksi Maksimal*.

Sun Protection Factor (SPF) adalah nilai yang menunjukkan kemampuan suatu tabir surya dalam memberikan perlindungan bagi kulit dari radiasi sinar UV yang dapat memberikan efek negatif pada kulit. *Food Drugs Administration* (FDA) mengklasifikasikan kategori kemampuan tabir surya berdasarkan nilai SPF yaitu, nilai 2-4 (*Proteksi Minimal*), 4-6 (*Proteksi Sedang*), 6-8 (*Proteksi Ekstra*), 8-5 (*Proteksi Maksimal*), >15 (*Proteksi Ultra*) (Intan Lestari, 2021).

Nilai *Sun Protection Factor* (SPF) adalah rasio kemampuan kulit normal dikali dengan nilai SPF. Normalnya kulit manusia dapat bertahan dari energi sinar UV yang dapat menimbulkan pigmentasi dan eritema dalam kurung waktu 25 menit, jadi pada penelitian ini konsentrasi 100 ppm dengan nilai rata-rata 4.18 dapat bertahan dalam waktu 104,5 menit, konsentrasi 150 nilai rata-rata 5.58 dapat bertahan dalam waktu 139,5 menit, konsentrasi 200 nilai rata-rata 7,24 dapat bertahan dalam waktu 181 menit, konsentrasi 250 nilai rata-rata 8.90 dapat bertahan dalam waktu 222,5 menit, konsentrasi 300 nilai rata-rata 10.88 dapat bertahan dalam waktu 272 menit.

Menurut FDA tabir surya harus mengandung *Sun Protection Factor* (SPF) mulai dari 2 sampai 50 SPF. Penggunaan tabir surya dengan SPF 2 mampu meneruskan 50% energi sinar UV yang diterima, untuk penggunaan tabir surya dengan nilai SPF 50 masih bisa meneruskan energi sinar UV 20%. Normalnya kulit manusia dapat bertahan dari energi sinar UV yang dapat menimbulkan pigmentasi dan eritema dalam kurung waktu 25 menit maka setelah menggunakan tabir surya dengan nilai SPF 2 maka kulit dapat bertahan dari paparan sinar UV lebih dari waktu normal kulit.

Berdasarkan hal diatas menunjukkan bahwa semakin tinggi konsentrasi ekstrak yang digunakan maka semakin tinggi pula perlindungan kulit terhadap energi sinar UV.

Hal tersebut sesuai dengan hasil yang telah didapatkan, menunjukkan bahwa semakin tinggi ekstrak kulit batang kayu jawa (*Lannea coromandelica*) maka semakin tinggi nilai SPF yang didapatkan semakin tinggi pula perlindungan kulit terhadap sinar UV.

Menurut Mulyani (2015) dalam penelitiannya menyebutkan nilai SPF yang minimal karena konsentrasi yang lebih kecil menjadi kemungkinan serapan (absorbansi) yang diperoleh tidak terlalu besar, sehingga nilai SPF setelah dihitung memberikan nilai yang minimal.

Peningkatan nilai SPF juga disebabkan karena semakin besar konsentrasi ekstrak yang digunakan, maka konsentrasi senyawa yang berkontribusi dalam mengabsorpsi sinar UV semakin besar (annisa dkk 2021). Menurut prasiddha et.al (2016) dalam penelitiannya menyebutkan seiring peningkatan konsentrasi, absorbansi juga akan meningkat.

BAB V

PENUTUP

A. Kesimpulan

Berdasarkan hasil penelitian yang telah dilakukan dapat disimpulkan bahwa:

1. Ekstrak etanol kulit batang kayu jawa (*Lannea coromandelica*) memiliki potensi sebagai tabir surya
3. Nilai SPF ekstrak etanol kulit batang kayu jawa (*Lannea coromandelica*) pada konsentrasi 100 ppm dan 150 ppm dikategorikan proteksi sedang, pada konsentrasi 200 ppm dikategorikan proteksi ekstra, serta pada konsentrasi 250 ppm dan 300 ppm dikategorikan proteksi maksimal
4. Nilai % transmisi eritema ekstrak etanol kulit batang kayu jawa (*Lannea coromandelica*) pada konsentrasi 100 ppm dan 150 ppm masuk dalam kategori *Ekstra Protection*, pada konsentrasi 200 ppm, 250 ppm, dan 300 ppm, masuk dalam kategori *Total Block*.
5. Nilai rata-rata % transmisi pigmentasi ekstrak etanol kulit batang kayu jawa (*Lannea coromandelica*) pada konsentrasi 100 ppm masuk dalam kategori *Ekstra Protection*, untuk konsentrasi 150 ppm, 200 ppm, 250 ppm, 300 ppm, masuk dalam kategori *Total Block*.

B. Saran

Sebaiknya dilakukan penelitian lebih lanjut dengan membuat formulasi ekstrak etanol kulit batang kayu jawa (*Lannea coromandelica*) dalam bentuk sediaan

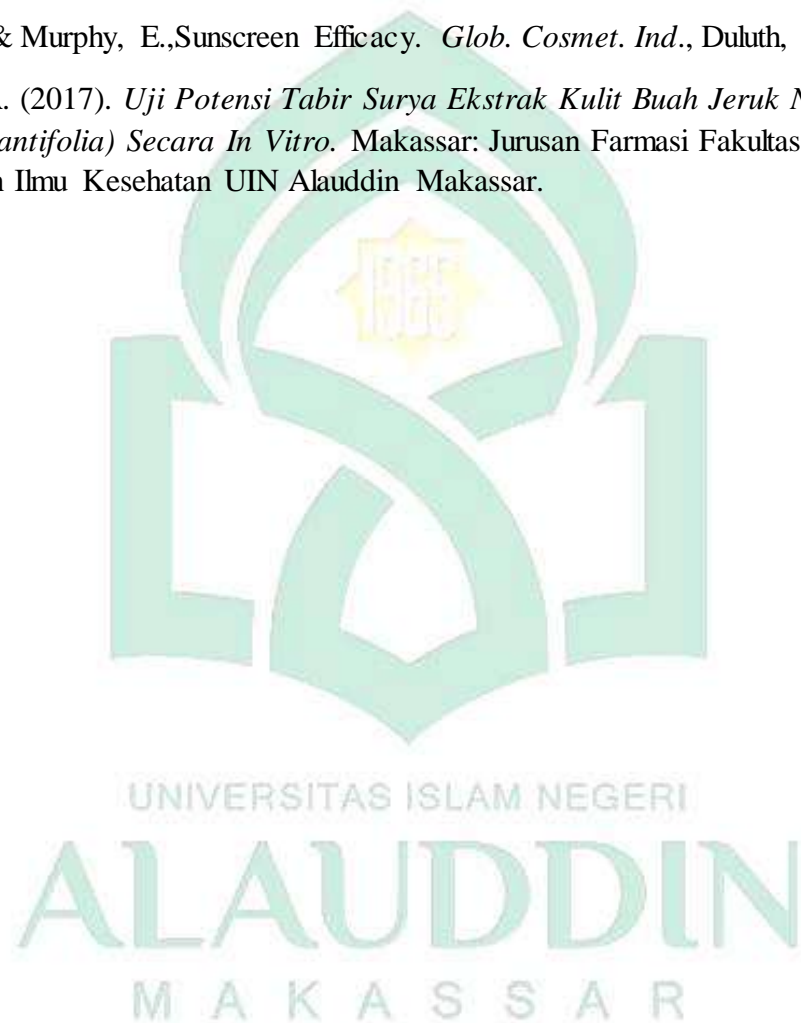
DAFTAR PUSTAKA

- Anita Dwi Puspitasari, D. A. (2018). Formulasi Krim Tabir Surya Ekstrak Etanol Daun Kersen (*Muntingia calabura L.*) untuk Kesehatan Kulit. *Media Litbangkes*, Vol. 28 No. 4, Desember 2018, 263-270.
- Arifin, B. S. (2018). Struktur, Bioaktivitas Dan Antioksidan Flavonoid. *Jurusan Kimia, Fakultas Matematika Dan Ilmu Pengetahuan Alam, Universitas Andalas Kampus Limau Manis Padang*. Vol. 6 No. 1., 21-29.
- Badrul Alam Sarowar Hossain, R. H. (2012). Antioxidant and Analgesic Activites of *Lannea coromandelica* Linn. Bark Extract. *International journal Pharmacology* 8:(4) 2012, 224-233.
- Bismo, S. (2006). *Teknologi Radiasi Sinar Ultra-Ungu (UV) dalam Rancang Bangun Proses Oksidasi Lanjut untuk Pencegahan Pencemaran Air dan Fasa Gas*. Depok: Departemen Teknik Kimia Fakultas Teknik Universitas Indonesia Agustus 2006.
- Cahyani, A. I. (2017). *Uji Aktivitas Antioksidan dari Ekstrak Kulit Batang Kayu Jawa (Lannea coromandelica) dengan Metode DPPH (2,2-Difenil-1-Pikrilhidrazil)*. Jakarta: Fakultas Kedokteran dan Ilmu Kesehatan Universitas Islam Negeri Syarif Hidayatullah Jakarta.
- Chanchal Deep Kaur, S. S. (2010). In vitro sun protection factor determination of herbal oils used in cosmetics. *Pharmacognosy Research*, January 2010, Vol 2, Issue 1, 22-25.
- Dutra, EA Olivera D.A, *Determination of Sun Protecting Factor (SPF) of Sunscreen by Ultraviolet Spectrophotometry*. *Brazilian Journal Of Pharmaceutical Sciences*. M.I, 2004
- Eva Ivanisova, M. T. (2013). Antioxidant Activity Of Selected Plant Product. *Journal of Microbiology, Biotechnology and Food Sciences* 2013 : 2, 1692-1703.
- Gordon, V. C., *Evaluation du facteur de protetion solaire. Parfum. Cosmet. Arom.*, Paris, n, p, 1993
- Haeria, S. N. (2014). Penentuan Potensi Tabir Surya Ekstrak Klika Anak Dara (*Croton oblongus Burm F.*). *JF FIK UINAM* Vol.2 No.1 2014, 1-5.

- Intan Lestari, M. P. (2021). Penentuan Nilai SPF Kombinasi Ekstrak Daun Ketepeng Dan Binahong Secara In Vitro. *Jurnal Ilmiah Farmasi Vol 10 No.1 Tahun 2021*, 1-10.
- Kalangi, S. J. (2013). Histofisiologi Kulit. *Jurnal Biomedik (JBM), Volume 5, Nomor 3, Suplemen, November 2013*, 12-20.
- Karak, P. (2019). Biological Activities Of Flavonoids: An Overview. *International Journal of Pharmaceutical Sciences and Research*, 1567-1574.
- Kementerian Agama RI. (2014). *Mushaf Al-Qur'an Tajwid dan Terjemahan*. Solo: Abyan,.
- Khopkar S. M. *Konsep Dasar Kimia Analitik*. Terjemahan dari *Basic Concepts Of Analytical Chemistry* oleh Saptoraharjo. Jakarta: UI-Press, 2007.
- L.C Cefali, J. P. (2016). Plant-based active photoprotectants for sunscreens. *International Journal of Cosmetic Science*, 2016, 346-353.
- Latifa, R. I. (2007). *Buku Pegangan Ilmu Pengetahuan Kosmetik*. Jakarta: PT Gramedia Pustaka Utama.
- Lavi, N. (2013). Sunscreen For Travelers. *vol 2 no.6 (2013): e-jurnal medika udayana*, <https://ojs.unud.ac.id/index.php/eum/article/view/5624>
- Maeda Wahyuningrum, R. K. (2018). Aktivitas Antioksidan dan Tabir Surya Ekstrak Daun Gyrinops versteegii. *Ilmu Teknol. Kayu Tropis Vol. 16 No. 2 Juli 2018*, 141-149.
- Mukhriani. (2014). Ekstraksi, Pemisahan Senyawa, Dan Identifikasi Senyawa Aktif. *Jurnal Kesehatan Volume VII No. 2/2014*, 361-367.
- Nguyen, L. T. (2020). An Overview of Saponins – A Bioactive Group. *School of Biotechnology and Food Technology Hanoi University of Science and Technology*, 2344-2344.
- Nia Lisnawati, M. F. (2019). Penentuan Nilai SPF Ekstrak Etil Asetat Daun Mangga Gendong Menggunakan Spektrofotometri UV-Vis. *Jurnal Riset Kefarmasian Indonesia Vol. 1 No. 2, 2019*, 157-166.
- Nurud Diniyah, S.-H. L. (2020). Komposisi Senyawa Fenol dan Potensi Antioksidan dari Kacang-Kacangan. *Jurnal Agroteknologi, Vol.14 No.01*, 91-102.

- Pramudita Riwanti, F. I. (2020). Pengaruh Perbedaan Konsentrasi Etanol pada Kadar Flavonoid Total Ekstrak Etanol 50,70,96% *Sargassum polycystum* dari Madura. *Journal Of Pharmaceutical Care Anwar Medika*, 82-95.
- Prashant Tiwari, B. K. (2011). Phytochemical screening and Extraction: A Review. *Internationale Pharmaceutica Scientia Jan-Mar 2011 Vol 1, Issue 1*, 98-106.
- Prawirodiharjo, E. (2014). *Uji Aktivitas Antioksidan dan Uji Toksisitas Ekstrak Etanol 70% dan Ekstrak Air Kulit Batang Kayu Jawa (Lannea coromandelica)*. Jakarta: Fakultas Kedokteran dan Ilmu Kesehatan UIN Syarif Hidayatullah Jakarta.
- Priyanka Kantivan Goswami, M. S. (2013). Natural Sunscreen Agents: A Review. *Scholars Academic Journal of Pharmacy (SAJP)*, 458-463.
- Rahmawati, D. M. (2018). Daya Hambat Ekstrak Buah Belimbing Wuluh Terhadap Pertumbuhan Bakteri *Streptococcus pyogenes* secara In Vitro. Denpasar: KEMENKES RI Jurusan Analisis Kesehatan Politeknik Kesehatan Denpasar.
- Riestya Abdiana, D. I. (2017). Rambut Jagung (*Zea mays L.*) sebagai Alternatif Tabir Surya. *Majority, Volume 7 Nomor 1, November 2017*, 31-35.
- Rini Agustin, Y. O. (2013). Formulasi Krim Tabir Surya Dari Kombinasi Etil p – Metoksisinamat Dengan Katekin. *Prosiding Seminar Nasional Perkembangan Terkini Sains Farmasi dan Klinik III 2013*, 184-198.
- RR. Asih Juanita, D. J. (2020). Penetapan Potensi Tabir Surya Krim Ekstrak Etanol Daun Cermay (*Phyllanthus acidus L.*) dengan Spektrofotometri UV-Vis. *Jurnal Farmagazine Vol.VII No.1*, 51-57.
- Shihab, M. Q. (2017). *Tafsir Al-Mishbah*. Tangerang: Lentera Hati.
- Siti Hasanah, I. A. (2015). Profil Tabir Surya Ekstrak dan Fraksi Daun Pidada Merah (*Sonneratia caseolaris L.*). *Jurnal Sains dan Kesehatan. 2015. Vol 1. No 4. p-ISSN: 2303-0267, e-ISSN: 2407-6082*, 175-180.
- Suhartati, T. (2013). *Dasar-Dasar Spektrofotometri UV-Vis dan Spektrometri Massa untuk Penentuan Struktur Senyawa Organik*. Bandar Lampung: AURA CV. Anugrah Utama Raharja Anggota IKAPI No.003/LPU/2013.
- Syifa Salsabila, I. R. (2021). Nilai Sun Protection Factor (SPF) Pada Sediaan Lotion Ekstrak Etanol Daun Jambu Air (*Syzygium aqueum*). *Majalah Farmasetika, 6 (1) 2021.*, 123-132.

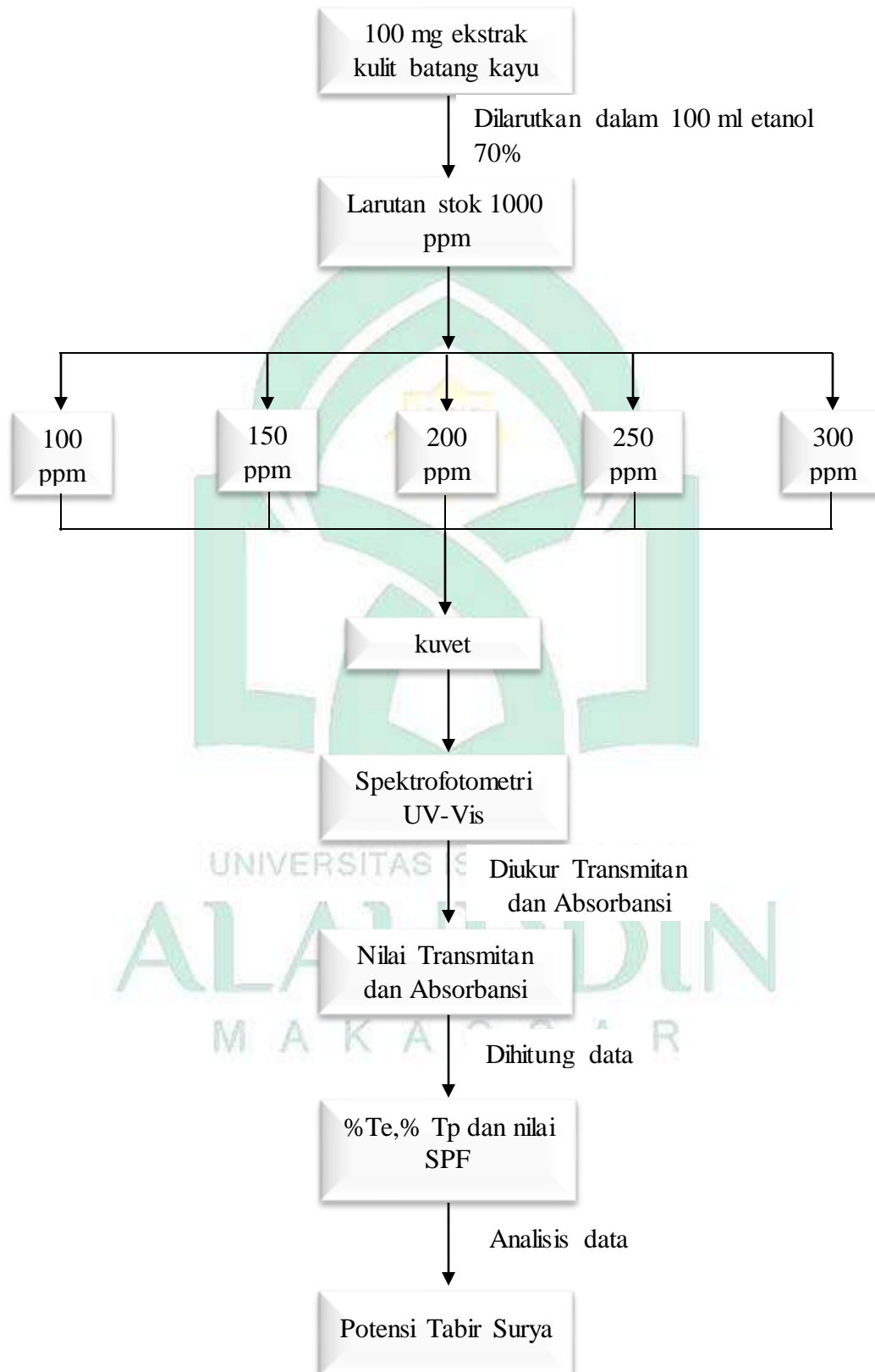
- Uni Calsum, A. K. (2018). Aktivitas Ekstrak Etanol Kulit Batang Kayu Jawa (*Lanea coromandelica*) terhadap Penyembuhan Luka Sayat pada Tikus Putih (*Rattus Norvegicus* L.). *Jurnal Farmasi Galenika (Galenika Journal of Pharmacy)* 2018; 4 (2), 113 – 118.
- Widji Soeratri, N. I. (2005). Penentuan Persentase Transmisi Eritema. *Berk. Penel. Hayati: 10 (117–121)*, 2005, 117-121.
- Wood, C. & Murphy, E., Sunscreen Efficacy. *Glob. Cosmet. Ind.*, Duluth, v, 2000.
- Yasin, R. A. (2017). *Uji Potensi Tabir Surya Ekstrak Kulit Buah Jeruk Nipis (Citrus aurantifolia) Secara In Vitro*. Makassar: Jurusan Farmasi Fakultas Kedokteran Dan Ilmu Kesehatan UIN Alauddin Makassar.



LAMPIRAN

Lampiran 1. Skema Kerja Penyiapan Sampel



Lampiran 2. Analisis Data

Lampiran 3. Hasil Pengukuran Transmiten

1. Konsentrasi 100 ppm

Tabel 8. Data Transmisi 100 ppm Replikasi I

Panjang Gelombang	FE/Fp (E-vitons)	%T	Ee/Ep	%Te/%Tp
292.5	0,1105	0,112	0,012376	
297.5	0,672	0,572	0,384384	
302.5	1	1,912	1,912	
307.5	0,2008	4,994	1,0027952	
312.5	0,1364	1,54	0,210056	
317.5	0,1125	18,65	2,098125	
JUMLAH	2,2322		5,6197362	2,517577368%
322.5	0,1079	28,227	3,0456933	
327.5	0,102	36,892	3,762984	
332.5	0,0936	44,013	4,1196168	
337.5	0,0798	49,031	3,9126738	
342.5	0,0669	52,925	3,5406825	
347.5	0,057	56,284	3,208188	
352.5	0,0488	59,444	2,9008672	
357.5	0,0456	62,287	2,8402872	
362.5	0,0356	64,85	2,30866	
367.5	0,031	67,499	2,092469	
372.5	0,026	69,718	1,812668	
JUMLAH	0,6942		33,5447898	48,32150648%

Tabel 9. Data Transmisi 100 ppm Replikasi II

Panjang Gelombang	FE/Fp (E-vitons)	%T	Ee/Ep	%Te/%Tp
292.5	0,1105	0,112	0,012376	
297.5	0,672	0,571	0,383712	
302.5	1	1,917	1,917	
307.5	0,2008	5,002	1,0044016	
312.5	0,1364	10,559	1,4402476	
317.5	0,1125	18,65	2,098125	
JUMLAH	2,2322		6,8558622	3,071347639%
322.5	0,1079	28,136	3,0358744	
327.5	0,102	36,822	3,755844	
332.5	0,0936	43,971	4,1156856	

337.5	0,0798	48,994	3,9097212	
342.5	0,0669	52,928	3,5408832	
347.5	0,057	56,303	3,209271	
352.5	0,0488	59,471	2,9021848	
357.5	0,0456	62,3	2,84088	
362.5	0,0356	64,886	2,3099416	
367.5	0,031	67,581	2,095011	
372.5	0,026	69,806	1,814956	
JUMLAH	0,6942		33,5302528	48,30056583%

Tabel 10. Data Transmisi 100 ppm Replikasi III

Panjang Gelombang	FE/Fp (E-vitons)	%T	Ee/Ep	%Te/%Tp
292.5	0,1105	0,112	0,012376	
297.5	0,672	0,576	0,387072	
302.5	1	1,932	1,932	
307.5	0,2008	5,029	1,0098232	
312.5	0,1364	10,595	1,445158	
317.5	0,1125	18,705	2,1043125	
JUMLAH	2,2322		6,8907417	3,08697326
322.5	0,1079	28,217	3,0446143	
327.5	0,102	36,882	3,761964	
332.5	0,0936	44,041	4,1222376	
337.5	0,0798	49,044	3,9137112	
342.5	0,0669	53,013	3,5465697	
347.5	0,057	56,359	3,212463	
352.5	0,0488	59,47	2,902136	
357.5	0,0456	62,344	2,8428864	
362.5	0,0356	64,944	2,3120064	
367.5	0,031	67,59	2,09529	
372.5	0,026	69,796	1,814696	
JUMLAH	0,6942		33,5685746	48,3557687

2. Konsentrasi 150 ppm

Tabel 11. Data Transmisi 150 ppm Replikasi I

Panjang Gelombang	FE/Fp (E-vitons)	%T	Ee/Ep	%Te/%Tp
292.5	0,1105	0,05	0,005525	
297.5	0,672	0,209	0,140448	
302.5	1	0,775	0,775	
307.5	0,2008	2,378	0,4775024	
312.5	0,1364	5,976	0,8151264	
317.5	0,1125	12,278	1,381275	
JUMLAH	2,2322		3,5948768	1,61046358%
322.5	0,1079	20,754	2,2393566	
327.5	0,102	28,911	2,948922	
332.5	0,0936	35,952	3,3651072	
337.5	0,0798	41,054	3,2761092	
342.5	0,0669	45,323	3,0321087	
347.5	0,057	49,119	2,799783	
352.5	0,0488	52,853	2,5792264	
357.5	0,0456	56,442	2,5737552	
362.5	0,0356	59,579	2,1210124	
367.5	0,031	62,668	1,942708	
372.5	0,026	65,273	1,697098	
JUMLAH	0,6942		28,5751867	41,1627581%

Tabel 12. Data Transmisi 150 ppm Replikasi II

Panjang Gelombang	FE/Fp (E-vitons)	%T	Ee/Ep	%Te/%Tp
292.5	0,1105	0,051	0,0056355	
297.5	0,672	0,208	0,139776	
302.5	1	0,773	0,773	
307.5	0,2008	2,386	0,4791088	
312.5	0,1364	5,976	0,8151264	
317.5	0,1125	12,229	1,3757625	
JUMLAH	2,2322		3,5884092	1,60756617%
322.5	0,1079	20,741	2,2379539	
327.5	0,102	28,877	2,945454	
332.5	0,0936	35,911	3,3612696	
337.5	0,0798	41,027	3,2739546	
342.5	0,0669	45,244	3,0268236	

347.5	0,057	49,088	2,798016	
352.5	0,0488	52,811	2,5771768	
357.5	0,0456	56,401	2,5718856	
362.5	0,0356	59,543	2,1197308	
367.5	0,031	62,607	1,940817	
372.5	0,026	65,252	1,696552	
JUMLAH	0,6942		28,5496339	41,1259492%

Tabel 13. Data Transmisi 150 ppm Replikasi III

Panjang Gelombang	FE/Fp (E-vitons)	%T	Ee/Ep	%Te/%Tp
292.5	0,1105	0,05	0,005525	
297.5	0,672	0,208	0,139776	
302.5	1	0,776	0,776	
307.5	0,2008	2,383	0,4785064	
312.5	0,1364	5,972	0,8145808	
317.5	0,1125	12,23	1,375875	
JUMLAH	2,2322		3,5902632	1,60839674%
322.5	0,1079	20,742	2,2380618	
327.5	0,102	28,905	2,94831	
332.5	0,0936	35,958	3,3656688	
337.5	0,0798	41,063	3,2768274	
342.5	0,0669	45,269	3,0284961	
347.5	0,057	49,106	2,799042	
352.5	0,0488	52,857	2,5794216	
357.5	0,0456	56,453	2,5742568	
362.5	0,0356	59,555	2,120158	
367.5	0,031	62,662	1,942522	
372.5	0,026	65,303	1,697878	
JUMLAH	0,6942		28,5706425	41,1562122%

3. Konsentrasi 200 ppm

Tabel 14. Data Transmisi 200 ppm Replikasi I

Panjang Gelombang	FE/Fp (E-vitons)	%T	Ee/Ep	%Te/%Tp
292.5	0,1105	0,035	0,0038675	
297.5	0,672	0,083	0,055776	
302.5	1	0,31	0,31	
307.5	0,2008	1,128	0,2265024	
312.5	0,1364	3,419	0,4663516	
317.5	0,1125	8,253	0,9284625	
JUMLAH	2,2322		1,99096	0,89192725%
322.5	0,1079	15,646	1,6882034	
327.5	0,102	23,285	2,37507	
332.5	0,0936	30,095	2,816892	
337.5	0,0798	35,086	2,7998628	
342.5	0,0669	39,338	2,6317122	
347.5	0,057	43,293	2,467701	
352.5	0,0488	47,212	2,3039456	
357.5	0,0456	51,075	2,32902	
362.5	0,0356	54,527	1,9411612	
367.5	0,031	57,99	1,79769	
372.5	0,026	61,018	1,586468	
JUMLAH	0,6942		24,7377262	35,6348692%

Tabel 15. Data Transmisi 200 ppm Replikasi II

Panjang Gelombang	FE/Fp (E-vitons)	%T	Ee/Ep	%Te/%Tp
292.5	0,1105	0,035	0,0038675	
297.5	0,672	0,082	0,055104	
302.5	1	0,309	0,309	
307.5	0,2008	1,127	0,2263016	
312.5	0,1364	3,416	0,4659424	
317.5	0,1125	8,218	0,924525	
JUMLAH	2,2322		1,9847405	0,88914098%
322.5	0,1079	15,645	1,6880955	
327.5	0,102	23,272	2,373744	
332.5	0,0936	30,058	2,8134288	
337.5	0,0798	35,075	2,798985	
342.5	0,0669	39,321	2,6305749	

347.5	0,057	43,269	2,466333	
352.5	0,0488	47,188	2,3027744	
357.5	0,0456	51,06	2,328336	
362.5	0,0356	54,524	1,9410544	
367.5	0,031	57,992	1,797752	
372.5	0,026	61,017	1,586442	
JUMLAH	0,6942		24,72752	35,6201671%

Tabel 16. Data Transmisi 200 ppm Replikasi III

Panjang Gelombang	FE/Fp (E-vitons)	%T	Ee/Ep	%Te/%Tp
292.5	0,1105	0,035	0,0038675	
297.5	0,672	0,082	0,055104	
302.5	1	0,31	0,31	
307.5	0,2008	1,127	0,2263016	
312.5	0,1364	3,416	0,4659424	
317.5	0,1125	8,216	0,9243	
JUMLAH	2,2322		1,9855155	0,88948817%
322.5	0,1079	15,635	1,6870165	
327.5	0,102	23,258	2,372316	
332.5	0,0936	30,032	2,8109952	
337.5	0,0798	35,065	2,798187	
342.5	0,0669	39,319	2,6304411	
347.5	0,057	43,246	2,465022	
352.5	0,0488	47,166	2,3017008	
357.5	0,0456	51,016	2,3263296	
362.5	0,0356	54,52	1,940912	
367.5	0,031	57,987	1,797597	
372.5	0,026	61,02	1,58652	
JUMLAH	0,6942		24,7170372	35,6050666%

4. Konsentrasi 250 ppm

Tabel 17. Data Transmisi 250 ppm Replikasi I

Panjang Gelombang	FE/Fp (E-vitons)	%T	Ee/Ep	%Te/%Tp
292.5	0,1105	0,027	0,0029835	
297.5	0,672	0,045	0,03024	
302.5	1	0,15	0,15	
307.5	0,2008	0,602	0,1208816	
312.5	0,1364	2,116	0,2886224	
317.5	0,1125	5,832	0,6561	
JUMLAH	2,2322		1,2488275	0,5594604%
322.5	0,1079	12,106	1,3062374	
327.5	0,102	19,003	1,938306	
332.5	0,0936	25,414	2,3787504	
337.5	0,0798	30,243	2,4133914	
342.5	0,0669	34,385	2,3003565	
347.5	0,057	38,384	2,187888	
352.5	0,0488	42,454	2,0717552	
357.5	0,0456	46,48	2,119488	
362.5	0,0356	50,175	1,78623	
367.5	0,031	53,958	1,672698	
372.5	0,026	57,319	1,490294	
JUMLAH	0,6942		21,6653949	31,2091543%

Tabel 18. Data Transmisi 250 ppm Replikasi II

Panjang Gelombang	FE/Fp (E-vitons)	%T	Ee/Ep	%Te/%Tp
292.5	0,1105	0,027	0,0029835	
297.5	0,672	0,046	0,030912	
302.5	1	0,15	0,15	
307.5	0,2008	0,601	0,1206808	
312.5	0,1364	2,113	0,2882132	
317.5	0,1125	5,799	0,6523875	
JUMLAH	2,2322		1,245177	0,55782502%
322.5	0,1079	12,123	1,3080717	
327.5	0,102	19,021	1,940142	
332.5	0,0936	25,436	2,3808096	
337.5	0,0798	30,265	2,415147	
342.5	0,0669	34,417	2,3024973	

347.5	0,057	38,4	2,1888	
352.5	0,0488	42,485	2,073268	
357.5	0,0456	46,507	2,1207192	
362.5	0,0356	50,225	1,78801	
367.5	0,031	53,992	1,673752	
372.5	0,026	57,36	1,49136	
JUMLAH	0,6942		21,6825768	31,2339049%

Tabel 19. Data Transmisi 250 ppm Replikasi III

Panjang Gelombang	FE/Fp (E-vitons)	%T	Ee/Ep	%Te/%Tp
292.5	0,1105	0,028	0,003094	
297.5	0,672	0,045	0,03024	
302.5	1	0,15	0,15	
307.5	0,2008	0,602	0,1208816	
312.5	0,1364	2,113	0,2882132	
317.5	0,1125	5,798	0,652275	
JUMLAH	2,2322		1,2447038	0,55761303%
322.5	0,1079	12,114	1,3071006	
327.5	0,102	19,014	1,939428	
332.5	0,0936	25,426	2,3798736	
337.5	0,0798	30,258	2,4145884	
342.5	0,0669	34,422	2,3028318	
347.5	0,057	38,445	2,191365	
352.5	0,0488	42,477	2,0728776	
357.5	0,0456	46,499	2,1203544	
362.5	0,0356	50,226	1,7880456	
367.5	0,031	54,007	1,674217	
372.5	0,026	57,38	1,49188	
JUMLAH	0,6942		21,682562	31,2338836%

5. Konsentrasi 300 ppm

Tabel 20. Data Transmisi 300 ppm Replikasi I

Panjang Gelombang	FE/Fp (E-vitons)	%T	Ee/Ep	%Te/%Tp
292.5	0,1105	0,025	0,0027625	
297.5	0,672	0,03	0,02016	
302.5	1	0,077	0,077	
307.5	0,2008	0,32	0,064256	
312.5	0,1364	1,296	0,1767744	
317.5	0,1125	4,078	0,458775	
JUMLAH	2,2322		0,7997279	0,35826893%
322.5	0,1079	9,279	1,0012041	
327.5	0,102	15,439	1,574778	
332.5	0,0936	21,331	1,9965816	
337.5	0,0798	25,918	2,0682564	
342.5	0,0669	29,953	2,0038557	
347.5	0,057	33,899	1,932243	
352.5	0,0488	37,981	1,8534728	
357.5	0,0456	42,077	1,9187112	
362.5	0,0356	45,973	1,6366388	
367.5	0,031	50,047	1,551457	
372.5	0,026	53,635	1,39451	
JUMLAH	0,6942		18,9317086	27,2712599%

Tabel 21. Data Transmisi 300 ppm Replikasi II

Panjang Gelombang	FE/Fp (E-vitons)	%T	Ee/Ep	%Te/%Tp
292.5	0,1105	0,023	0,0025415	
297.5	0,672	0,03	0,02016	
302.5	1	0,075	0,075	
307.5	0,2008	0,319	0,0640552	
312.5	0,1364	1,291	0,1760924	
317.5	0,1125	4,054	0,456075	
JUMLAH	2,2322		0,7939241	0,35566889%
322.5	0,1079	9,308	1,0043332	
327.5	0,102	15,451	1,576002	
332.5	0,0936	21,38	2,001168	
337.5	0,0798	25,959	2,0715282	
342.5	0,0669	30,008	2,0075352	

347.5	0,057	33,937	1,934409	
352.5	0,0488	38,049	1,8567912	
357.5	0,0456	42,173	1,9230888	
362.5	0,0356	46,093	1,6409108	
367.5	0,031	50,14	1,55434	
372.5	0,026	53,756	1,397656	
JUMLAH	0,6942		18,9677624	27,3231956%

Tabel 22. Data Transmisi 300 ppm Replikasi III

Panjang Gelombang	FE/Fp (E-vitons)	%T	Ee/Ep	%Te/%Tp
292.5	0,1105	0,024	0,002652	
297.5	0,672	0,03	0,02016	
302.5	1	0,076	0,076	
307.5	0,2008	0,322	0,0646576	
312.5	0,1364	1,296	0,1767744	
317.5	0,1125	4,055	0,4561875	
JUMLAH	2,2322		0,7964315	0,35679218%
322.5	0,1079	9,309	1,0044411	
327.5	0,102	15,461	1,577022	
332.5	0,0936	21,384	2,0015424	
337.5	0,0798	25,967	2,0721666	
342.5	0,0669	30,018	2,0082042	
347.5	0,057	33,947	1,934979	
352.5	0,0488	38,051	1,8568888	
357.5	0,0456	42,194	1,9240464	
362.5	0,0356	46,095	1,640982	
367.5	0,031	50,136	1,554216	
372.5	0,026	53,753	1,397578	
JUMLAH	0,6942		18,9720665	27,3293957%

Lampiran 4. Hasil Pengukuran Nilai SPF

1. Konsentrasi 100 ppm

Tabel 23. Data Absorbansi 100 ppm Replikasi I

Panjang Gelombang (nm)	Absorbansi (A)	Luas Trapesium	(AUC)
290	3,243	L1	14,54
295	2,573	L2	11,335
300	1,961	L3	8,64
305	1,495	L4	6,545
310	1,123	L5	4,8975
315	0,836	L6	3,6575
320	0,627	L7	2,775
325	0,483	L8	2,1775
330	0,388	L9	1,7925
335	0,329	L10	1,545
340	0,289	L11	1,3725
345	0,260	L12	1,235
350	0,234	L13	1,1175
355	0,213	L14	1,0175
360	0,194	L15	0,925
365	0,176	L16	0,8425
370	0,161	L17	0,775
375	0,149	L18	0,7175
380	0,138	L19	0,665
385	0,128	L20	0,62
390	0,120	L21	0,585
395	0,114	L22	0,555
400	0,108	68,3325	
AUC			
Log SPF			0,6212
Nilai SPF			4.18

Tabel 24. Data Absorbansi 100 ppm Replikasi II

Panjang Gelombang (nm)	Absorbansi (A)	Luas Trapesium	(AUC)
290	3,250	L1	14,5675
295	2,577	L2	11,3575
300	1,966	L3	8,6625
305	1,499	L4	6,5625
310	1,126	L5	4,91
315	0,838	L6	3,6675
320	0,629	L7	2,7825
325	0,484	L8	2,1825
330	0,389	L9	1,7975
335	0,330	L10	1,5525
340	0,291	L11	1,38
345	0,261	L12	1,24
350	0,235	L13	1,1225
355	0,214	L14	1,0225
360	0,195	L15	0,93
365	0,177	L16	0,8475
370	0,162	L17	0,78
375	0,150	L18	0,7225
380	0,139	L19	0,67
385	0,129	L20	0,625
390	0,121	L21	0,59
395	0,115	L22	0,56
400	0,109	68,5325	
AUC			0,62302
Log SPF			4.19
Nilai SPF			

Tabel 25. Data Absorbansi 100 ppm Replikasi III

Panjang Gelombang (nm)	Absorbansi (A)	Luas Trapesium	(AUC)
290	3,249	L1	14,55
295	2,571	L2	11,33
300	1,961	L3	8,64
305	1,495	L4	6,5425

310	1,122	L5	4,8925
315	0,835	L6	3,655
320	0,627	L7	2,775
325	0,483	L8	2,1775
330	0,388	L9	1,79
335	0,328	L10	1,545
340	0,290	L11	1,375
345	0,260	L12	1,235
350	0,234	L13	1,1175
355	0,213	L14	1,0175
360	0,194	L15	0,925
365	0,176	L16	0,8425
370	0,161	L17	0,775
375	0,149	L18	0,7175
380	0,138	L19	0,665
385	0,128	L20	0,62
390	0,120	L21	0,585
395	0,114	L22	0,555
400	0,108	68,3275	
AUC			
Log SPF		0,62116	
Nilai SPF		4.17	

2. Konsentrasi 150 ppm

Tabel 26. Data Absorbansi 150 ppm Replikasi I

Panjang Gelombang (nm)	Absorbansi (A)	Luas Trapesium	(AUC)
290	3,440	L1	16,1125
295	3,005	L2	13,48
300	2,387	L3	10,6175
305	1,860	L4	8,1725
310	1,409	L5	6,1425
315	1,048	L6	4,58
320	0,784	L7	3,4675
325	0,603	L8	2,7225
330	0,486	L9	2,2475
335	0,413	L10	1,945
340	0,365	L11	1,725

345	0,325	L12	1,5425
350	0,292	L13	1,385
355	0,262	L14	1,245
360	0,236	L15	1,125
365	0,214	L16	1,02
370	0,194	L17	0,9275
375	0,177	L18	0,85
380	0,163	L19	0,785
385	0,151	L20	0,7275
390	0,140	L21	0,68
395	0,132	L22	0,645
400	0,126	82,145	
AUC		82,145	
Log SPF		0,74677	
Nilai SPF		5.58	

Tabel 27. Data Absorbansi 150 ppm Replikasi II

Panjang Gelombang (nm)	Absorbansi (A)	Luas Trapesium	(AUC)
290	3,435	L1	16,0925
295	3,002	L2	13,475
300	2,388	L3	10,6225
305	1,861	L4	8,18
310	1,411	L5	6,15
315	1,049	L6	4,585
320	0,785	L7	3,4725
325	0,604	L8	2,73
330	0,488	L9	2,255
335	0,414	L10	1,95
340	0,366	L11	1,73
345	0,326	L12	1,5475
350	0,293	L13	1,39
355	0,263	L14	1,25
360	0,237	L15	1,13
365	0,215	L16	1,025
370	0,195	L17	0,9325
375	0,178	L18	0,855
380	0,164	L19	0,79
385	0,152	L20	0,7325

390	0,141	L21	0,685
395	0,133	L22	0,65
400	0,127	82,23	
AUC			
Log SPF		0,74755	
Nilai SPF		5.59	

Tabel 28. Data Absorbansi 150 ppm Replikasi III

Panjang Gelombang (nm)	Absorbansi (A)	Luas Trapesium	(AUC)
290	3,441	L1	16,1
295	2,999	L2	13,465
300	2,387	L3	10,6175
305	1,860	L4	8,1725
310	1,409	L5	6,1425
315	1,048	L6	4,58
320	0,784	L7	3,47
325	0,604	L8	2,7275
330	0,487	L9	2,25
335	0,413	L10	1,945
340	0,365	L11	1,725
345	0,325	L12	1,5425
350	0,292	L13	1,3875
355	0,263	L14	1,25
360	0,237	L15	1,1275
365	0,214	L16	1,02
370	0,194	L17	0,9275
375	0,177	L18	0,8525
380	0,164	L19	0,7875
385	0,151	L20	0,7275
390	0,140	L21	0,68
395	0,132	L22	0,645
400	0,126	82,1425	
AUC			
Log SPF		0,74675	
Nilai SPF		5.58	

3. Konsentrasi 200 ppm

Tabel 29. Data Absorbansi 200 ppm Replikasi I

Panjang Gelombang (nm)	Absorbansi (A)	Luas Trapesium	(AUC)
290	3,534	L1	17,155
295	3,328	L2	15,315
300	2,798	L3	12,5575
305	2,225	L4	9,795
310	1,693	L5	7,3625
315	1,252	L6	5,4525
320	0,929	L7	4,0975
325	0,710	L8	3,2025
330	0,571	L9	2,6425
335	0,486	L10	2,29
340	0,430	L11	2,035
345	0,384	L12	1,82
350	0,344	L13	1,6325
355	0,309	L14	1,4675
360	0,278	L15	1,32
365	0,250	L16	1,19
370	0,226	L17	1,0775
375	0,205	L18	0,9825
380	0,188	L19	0,9025
385	0,173	L20	0,835
390	0,161	L21	0,7825
395	0,152	L22	0,74
400	0,144		
AUC		94,655	
Log SPF		0,8605	
Nilai SPF		7.25	

Tabel 30. Data Absorbansi 200 ppm Replikasi II

Panjang Gelombang (nm)	Absorbansi (A)	Luas Trapesium	(AUC)
290	3,522	L1	17,13
295	3,330	L2	15,3225
300	2,799	L3	12,56

305	2,225	L4	9,7925
310	1,692	L5	7,3575
315	1,251	L6	5,4475
320	0,928	L7	4,0925
325	0,709	L8	3,2025
330	0,572	L9	2,645
335	0,486	L10	2,29
340	0,430	L11	2,0325
345	0,383	L12	1,8175
350	0,344	L13	1,6325
355	0,309	L14	1,465
360	0,277	L15	1,3175
365	0,250	L16	1,19
370	0,226	L17	1,0775
375	0,205	L18	0,9825
380	0,188	L19	0,9025
385	0,173	L20	0,835
390	0,161	L21	0,78
395	0,151	L22	0,7375
400	0,144		
AUC		94,61	
Log SPF		0,86009	
Nilai SPF		7,24	

Tabel 31. Data Absorbansi 200 ppm Replikasi III

Panjang Gelombang (nm)	Absorbansi (A)	Luas Trapesium	(AUC)
290	3,528	L1	17,115
295	3,318	L2	15,285
300	2,796	L3	12,55
305	2,224	L4	9,7875
310	1,691	L5	7,355
315	1,251	L6	5,4475
320	0,928	L7	4,0925
325	0,709	L8	3,2025
330	0,572	L9	2,645
335	0,486	L10	2,29
340	0,430	L11	2,035
345	0,384	L12	1,8225

350	0,345	L13	1,635
355	0,309	L14	1,4675
360	0,278	L15	1,32
365	0,250	L16	1,19
370	0,226	L17	1,0775
375	0,205	L18	0,9825
380	0,188	L19	0,9025
385	0,173	L20	0,835
390	0,161	L21	0,7825
395	0,152	L22	0,74
400	0,144	94,56	
AUC			
Log SPF			
Nilai SPF		0,85964	
		7.23	

4. Konsentrasi 250 ppm

Tabel 32. Data Absorbansi 250 ppm Replikasi I

Panjang Gelombang (nm)	Absorbansi (A)	Luas Trapesium	(AUC)
290	3,565	L1	17,5825
295	3,468	L2	16,4025
300	3,093	L3	14,05
305	2,527	L4	11,1525
310	1,934	L5	8,4075
315	1,429	L6	6,2175
320	1,058	L7	4,6625
325	0,807	L8	3,645
330	0,651	L9	3,0125
335	0,554	L10	2,6125
340	0,491	L11	2,325
345	0,439	L12	2,08
350	0,393	L13	1,8625
355	0,352	L14	1,67
360	0,316	L15	1,4975
365	0,283	L16	1,345
370	0,255	L17	1,215
375	0,231	L18	1,105
380	0,211	L19	1,01

385	0,193	L20	0,93
390	0,179	L21	0,8675
395	0,168	L22	0,82
400	0,160	104,473	
AUC			
Log SPF			
Nilai SPF		8.90	

Tabel 33. Data Absorbansi 250 ppm Replikasi II

Panjang Gelombang (nm)	Absorbansi (A)	Luas Trapesium	(AUC)
290	3,565	L1	17,6
295	3,475	L2	16,4225
300	3,094	L3	14,0525
305	2,527	L4	11,1525
310	1,934	L5	8,41
315	1,430	L6	6,2225
320	1,059	L7	4,6675
325	0,808	L8	3,6475
330	0,651	L9	3,015
335	0,555	L10	2,615
340	0,491	L11	2,3225
345	0,438	L12	2,0775
350	0,393	L13	1,865
355	0,353	L14	1,6725
360	0,316	L15	1,4975
365	0,283	L16	1,345
370	0,255	L17	1,215
375	0,231	L18	1,1025
380	0,210	L19	1,0075
385	0,193	L20	0,93
390	0,179	L21	0,8675
395	0,168	L22	0,82
400	0,160	104,528	
AUC			
Log SPF			
Nilai SPF		8.91	

Tabel 34. Data Absorbansi 250 ppm Replikasi III

Panjang Gelombang (nm)	Absorbansi (A)	Luas Trapesium	(AUC)
290	3,567	L1	17,6125
295	3,478	L2	16,4275
300	3,093	L3	14,05
305	2,527	L4	11,15
310	1,933	L5	8,405
315	1,429	L6	6,2175
320	1,058	L7	4,6625
325	0,807	L8	3,645
330	0,651	L9	3,015
335	0,555	L10	2,615
340	0,491	L11	2,325
345	0,439	L12	2,08
350	0,393	L13	1,865
355	0,353	L14	1,6725
360	0,316	L15	1,4975
365	0,283	L16	1,345
370	0,255	L17	1,215
375	0,231	L18	1,105
380	0,211	L19	1,01
385	0,193	L20	0,93
390	0,179	L21	0,8675
395	0,168	L22	0,82
400	0,160		
AUC		104,533	
Log SPF		0,9503	
Nilai SPF		8.91	

5. Konsentrasi 300 ppm

Tabel 35. Data Absorbansi 300 ppm Replikasi I

Panjang Gelombang (nm)	Absorbansi (A)	Luas Trapesium	(AUC)
290	3,586	L1	17,9475
295	3,593	L2	17,3425
300	3,344	L3	15,415

305	2,822	L4	12,5075
310	2,181	L5	9,4825
315	1,612	L6	7,0075
320	1,191	L7	5,25
325	0,909	L8	4,105
330	0,733	L9	3,395
335	0,625	L10	2,9475
340	0,554	L11	2,625
345	0,496	L12	2,35
350	0,444	L13	2,105
355	0,398	L14	1,885
360	0,356	L15	1,685
365	0,318	L16	1,5075
370	0,285	L17	1,355
375	0,257	L18	1,2275
380	0,234	L19	1,1225
385	0,215	L20	1,035
390	0,199	L21	0,9625
395	0,186	L22	0,9075
400	0,177		
AUC		114,168	
Log SPF		1,03789	
Nilai SPF		10.91	

Tabel 36. Data Absorbansi 300 ppm Replikasi II

Panjang Gelombang (nm)	Absorbansi (A)	Luas Trapesium	(AUC)
290	3,583	L1	17,8875
295	3,572	L2	17,275
300	3,338	L3	15,4025
305	2,823	L4	12,5125
310	2,182	L5	9,4875
315	1,613	L6	7,0125
320	1,192	L7	5,2525
325	0,909	L8	4,1075
330	0,734	L9	3,3975
335	0,625	L10	2,95
340	0,555	L11	2,6275
345	0,496	L12	2,35

350	0,444	L13	2,105
355	0,398	L14	1,885
360	0,356	L15	1,685
365	0,318	L16	1,5075
370	0,285	L17	1,355
375	0,257	L18	1,2275
380	0,234	L19	1,12
385	0,214	L20	1,03
390	0,198	L21	0,96
395	0,186	L22	0,9075
400	0,177	114,045	
AUC		114,045	
Log SPF		1,03677	
Nilai SPF		10.88	

Tabel 37. Data Absorbansi 300 ppm Replikasi III

Panjang Gelombang (nm)	Absorbansi (A)	Luas Trapesium	(AUC)
290	3,604	L1	17,9325
295	3,569	L2	17,2525
300	3,332	L3	15,385
305	2,822	L4	12,5075
310	2,181	L5	9,4825
315	1,612	L6	7,01
320	1,192	L7	5,2525
325	0,909	L8	4,105
330	0,733	L9	3,395
335	0,625	L10	2,9475
340	0,554	L11	2,625
345	0,496	L12	2,35
350	0,444	L13	2,1025
355	0,397	L14	1,8825
360	0,356	L15	1,685
365	0,318	L16	1,5075
370	0,285	L17	1,355
375	0,257	L18	1,2275
380	0,234	L19	1,12
385	0,214	L20	1,03
390	0,198	L21	0,96

395	0,186	L22	0,905
400	0,176	114,02	
AUC			
Log SPF		1,03655	
Nilai SPF		10.87	

Lampiran 5. Perhitungan Nilai %Te, %Tp, dan Nilai SPF

1. Nilai Transmiten

a. %Transmisi Eritema

rumus:

$$\% \text{ transmisi eritema} = \frac{Ee}{\Sigma Fe}$$

Dimana :

T = Nilai transmisi

Fe = Fluks eritema

Ee = $\Sigma T \cdot Fe$ = banyaknya fluks eritema yang diteruskan oleh ekstrak panjang gelombang 292,5 – 317,5 nm

contoh perhitungan 100 ppm replika 1

$$\% Te = \frac{Ee}{\Sigma Fe}$$

$$\% Te = \frac{5,6197362}{2,2322}$$

$$\% Te = 2,517577368\%$$

b. %Transmisi Pigmentasi

rumus:

$$\% \text{ transmisi pigmentasi} = \frac{Ee}{\Sigma Fp}$$

Dimana :

T = nilai transmisi

F_p = fluks pigmentasi

$E_p = \Sigma T.F_p$ = banyaknya fluks pigmentasi yang diteruskan oleh ekstrak pada panjang gelombang 322,5 – 372,5 nm

contoh perhitungan 100 ppm replika 1

$$\%T_p = \frac{E_e}{\Sigma F_p}$$

$$\%t_p = \frac{33,5447898}{0,6942}$$

$$\%T_p = 48,32150648\%$$

2. Nilai Rata-rata %Te dan %Tp

a. 100 ppm

$$\text{Eritema} : \frac{2,51\% + 3,07\% + 3,08\%}{3} = 2,88\%$$

$$\text{Pigmentasi} : \frac{48,32\% + 48,30\% + 48,35\%}{3} = 48,32\%$$

b. 150 ppm

$$\text{Eritema} : \frac{1,61\% + 1,60\% + 1,60\%}{3} = 1,60\%$$

$$\text{Pigmentasi} : \frac{41,16\% + 41,12\% + 41,15\%}{3} = 41,14\%$$

c. 200 ppm

$$\text{Eritema} : \frac{0,89\% + 0,88\% + 0,88\%}{3} = 0,88\%$$

$$\text{Pigmentasi} : \frac{35,63\% + 35,62\% + 35,60\%}{3} = 35,61\%$$

d. 250 ppm

$$\text{Eritema} : \frac{0,55\% + 0,55\% + 0,55\%}{3} = 0,55\%$$

$$\text{Pigmentasi} : \frac{31,20\% + 31,23\% + 31,23\%}{3} = 31,22\%$$

e. 300 ppm

$$\text{Eritema} : \frac{0,35\% + 0,35\% + 0,35\%}{3} = 0,35\%$$

$$\text{Pigmentasi} : \frac{27,27\% + 27,32\% + 27,32\%}{3} = 27,30\%$$

3. Perhitungan Nilai SPF

Rumus :

$$\{AUC\} = \frac{Aa + Ab}{2} \times dPa - b$$

$$AUC = L1 + L2 + L3 + L4 + \dots + Ln$$

$$\log SPF = \frac{AUC}{\lambda_n - \lambda_1}$$

Nilai SPF = Anti Log SPF

Keterangan:

Aa = absorbansi pada panjang gelombang a nm

Ab = absorbansi pada panjang gelombang b nm

dPa-b = selisih panjang gelombang a dan b

λ_n = panjang gelombang terbesar (dengan $A > 0,05$ untuk ekstrak dengan $A > 0,01$ untuk sediaan)

λ_1 = panjang gelombang terkecil (290 nm)

contoh perhitungan 100 ppm replika 1

$$\{AUC\} = \frac{Aa + Ab}{2} \times dPa - b$$

$$L1 = \frac{2,573 + 3,243}{2} \times (295 - 290) = 14,54$$

$$L2 = \frac{1,961 + 2,573}{2} \times (300 - 295) = 11,335$$

$$L3 = \frac{1,495 + 1,961}{2} \times (305 - 300) = 8,64$$

$$L4 = \frac{1,123 + 1,495}{2} \times (310 - 305) = 6,545$$

$$L5 = \frac{0,836+1,123}{2} x(315 - 310) = 4,8975$$

$$L6 = \frac{0,627+0,836}{2} x(320 - 315) = 3,6575$$

$$L7 = \frac{0,483+0,627}{2} x(325 - 320) = 2,775$$

$$L8 = \frac{0,388+0,483}{2} x(330 - 325) = 2,1775$$

$$L9 = \frac{0,329+0,388}{2} x(335 - 330) = 1,7925$$

$$L10 = \frac{0,289+0,329}{2} x(340 - 335) = 1,545$$

$$L11 = \frac{0,260+0,289}{2} x(345 - 340) = 1,3725$$

$$L12 = \frac{0,234+0,260}{2} x(350 - 345) = 1,235$$

$$L13 = \frac{0,213+0,234}{2} x(355 - 350) = 1,1175$$

$$L14 = \frac{0,194+0,213}{2} x(360 - 355) = 1,0175$$

$$L15 = \frac{0,176+0,194}{2} x(365 - 360) = 0,925$$

$$L16 = \frac{0,161+0,176}{2} x(370 - 365) = 0,8425$$

$$L17 = \frac{0,149+0,161}{2} x(375 - 370) = 0,775$$

$$L18 = \frac{0,138+0,149}{2} x(380 - 375) = 0,7175$$

$$L19 = \frac{0,128+0,138}{2} x(385 - 380) = 0,665$$

$$L20 = \frac{0,120+0,128}{2} x(390 - 385) = 0,62$$

$$L21 = \frac{0,114+0,120}{2} x(395 - 390) = 0,585$$

$$L22 = \frac{0,108+0,114}{2} x(400 - 395) = 0,555$$

$$\text{AUC} = L1+L2+L3+L4.....Ln$$

$$\begin{aligned} \text{AUC} &= 14,54 + 11,335 + 8,64 + 6,545 + 4,8975 + 3,6575 + 2,775 + 2,1775 \\ &+ 1,7925 + 1,545 + 1,3725 + 1,235 + 1,1175 + 1,0175 + 0,925 + \\ &0,8425 + 0,775 + 0,7175 + 0,665 + 0,62 + 0,585 + 0,555 \\ &= 68,3325 \end{aligned}$$

$$\begin{aligned} \log SPF &= \frac{\text{AUC}}{\lambda n - \lambda 1} \\ &= \frac{68,3325}{400 - 290} \\ &= 0,6212 \end{aligned}$$

$$\text{Nilai SPF} = \text{Anti Log SPF}$$

$$= 4.18$$

4. Nilai Rata-rata SPF

- a) 100 ppm = $\frac{4,18+4,19+4,17}{3} = 4,18$
- b) 150 ppm = $\frac{5,58+5,59+5,58}{3} = 5,58$
- c) 200 ppm = $\frac{7,25+7,24+7,23}{3} = 7,24$
- d) 250 ppm = $\frac{8,90+8,91+8,91}{3} = 8,90$
- e) 300 ppm = $\frac{10,91+10,88+10,87}{3} = 10,88$

Lampiran 6. Proses Pengelolaan sampel



Gambar 4. Kulit batang kayu jawa



Gambar 5. Pengelupasan kulit bagian luar



Gambar 6. Perajangan



Gambar 7. Pengeringan



Gambar 8. Penimbangan



Gambar 9. Maserasi



Gambar 10. Penyaringan



Gambar 11. Rotary Evaporator



Gambar 12. Ekstrak yang diperoleh

Lampiran 7. Proses pengukuran data menggunakan spektrofotometri UV-Vis



Gambar 13. Penimbangan ekstrak



Gambar 14. Larutan stok



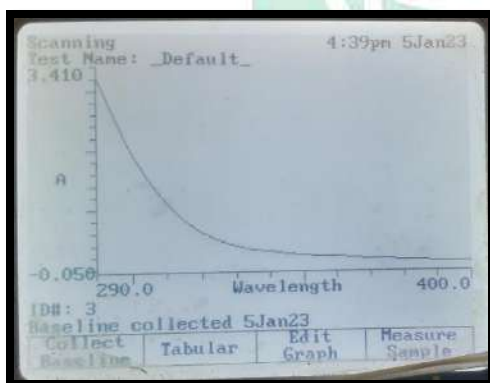
Gambar 15. Larutan standar



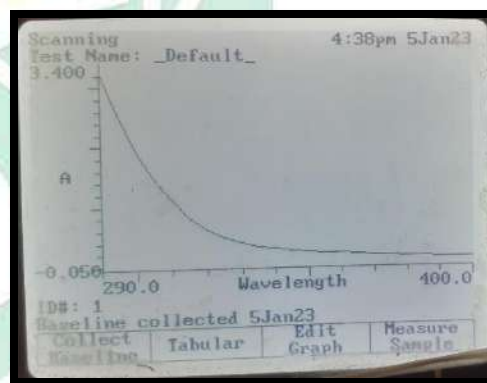
Gambar 16. Pengukuran absorbansi & %transmiten

Lampiran 8. Hasil pengukuran spektrofotometri UV-Vis

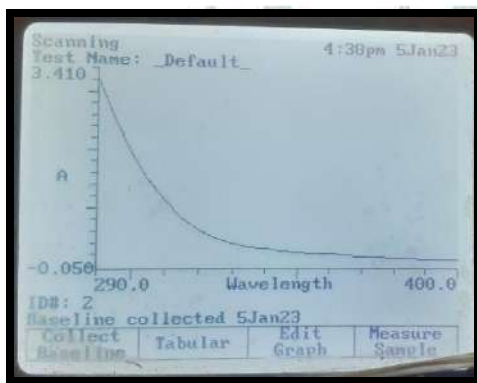
1. pengukuran absorbansi *Sun Protection Factor* (SPF)



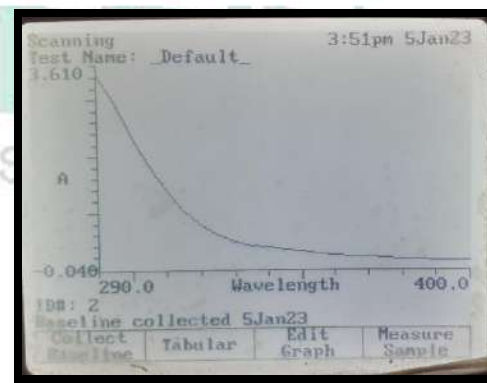
Gambar 17. 100 ppm replika I



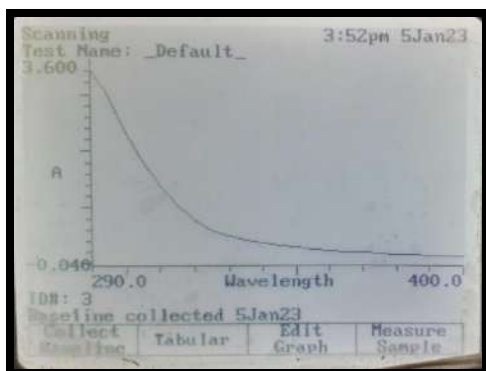
Gambar 18. 100 ppm replikasi II



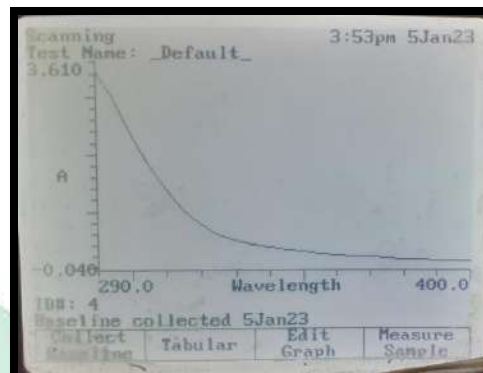
Gambar 19. 100 ppm replikasi III



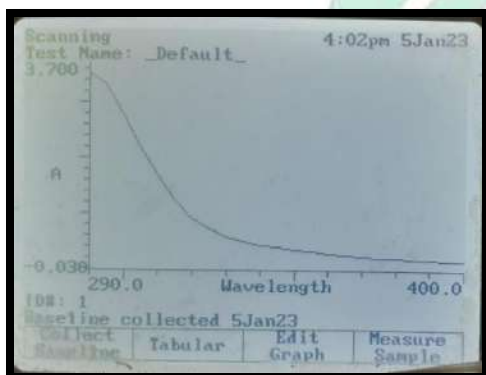
Gambar 20. 150 ppm replikasi I



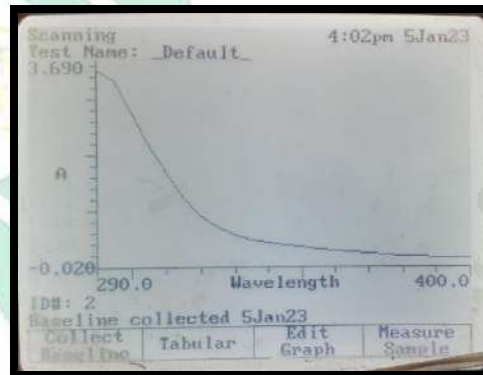
Gambar 21. 150 ppm replikasi II



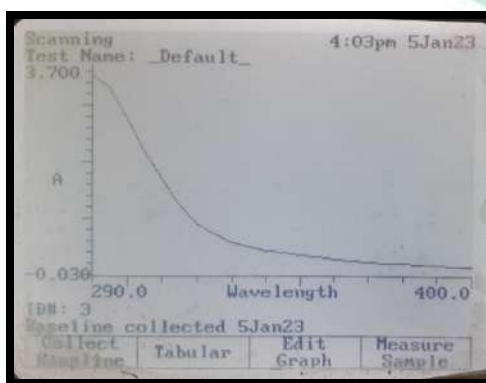
Gambar 22. 150 ppm replikasi III



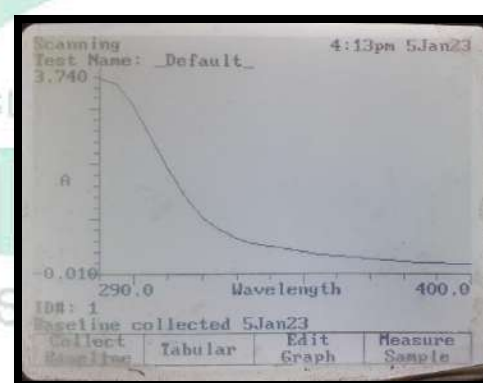
Gambar 23. 200 ppm replikasi I



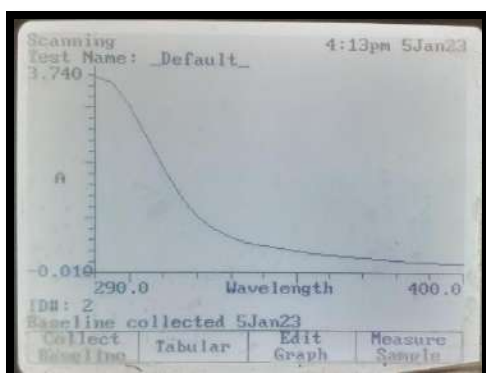
Gambar 24. 200 ppm replikasi II



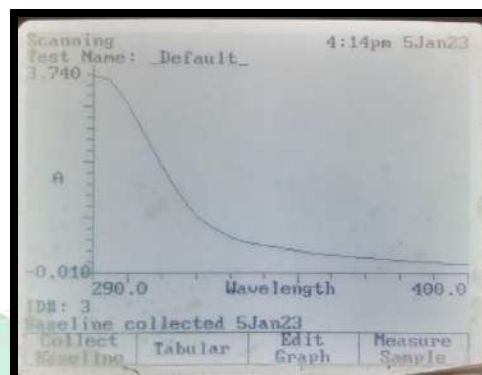
Gambar 25. 200 ppm replikasi III



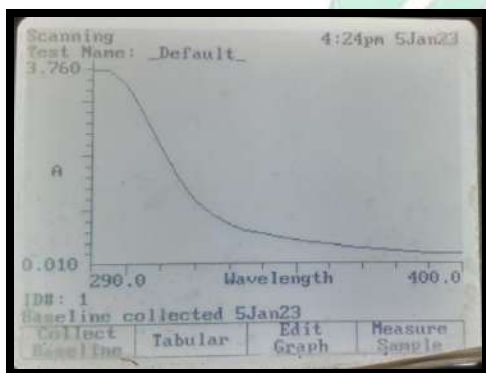
Gambar 26. 250 ppm replikasi I



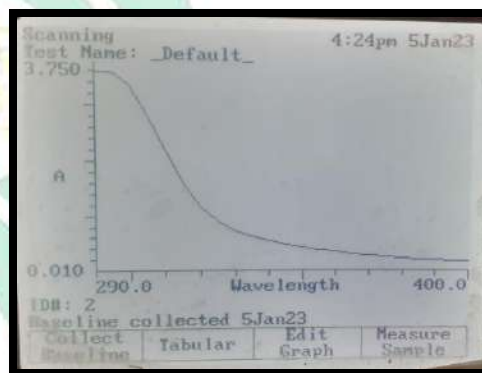
Gambar 27. 250 ppm replikasi II



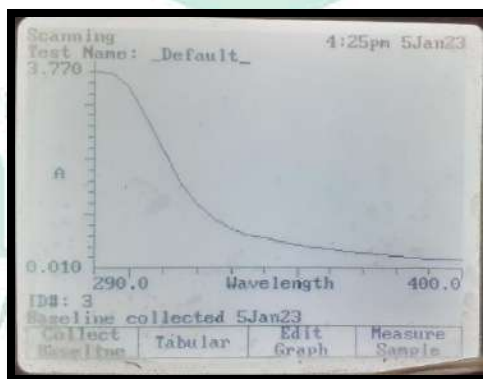
Gambar 28. 250 ppm replikasi III



Gambar 29. 300 ppm replikasi I

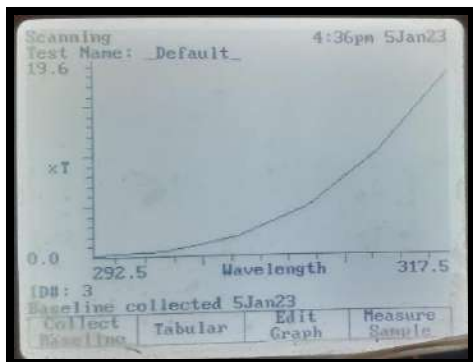


Gambar 30. 300 ppm replikasi II

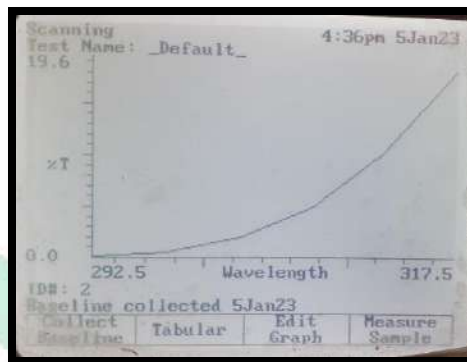


Gambar 31. 300 ppm replikasi III

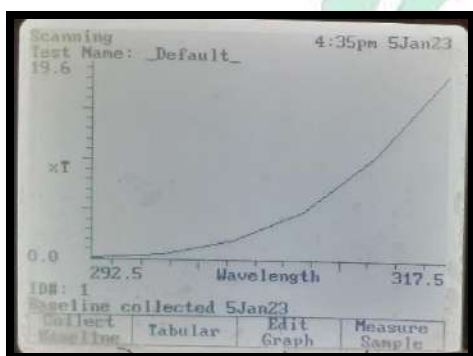
2. Pengukuran % Transmisi Eritema



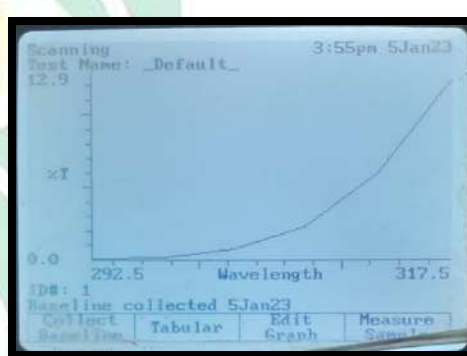
Gambar 32. 100 ppm replika I



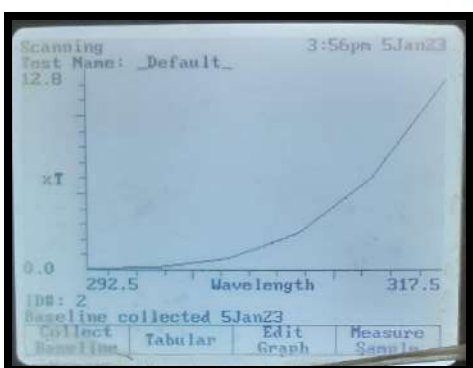
Gambar 33. 100 ppm replika II



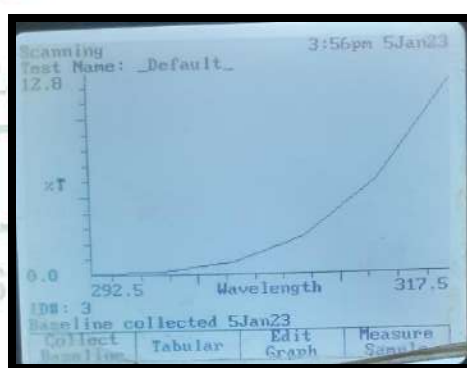
Gambar 34. 100 ppm replika III



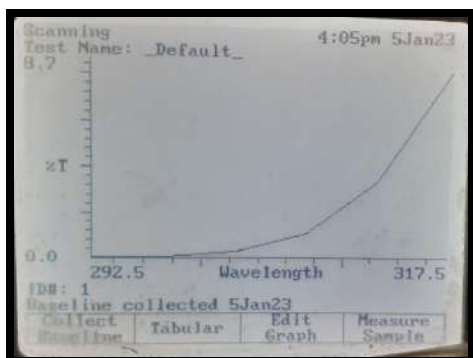
Gambar 35. 150 ppm replikasi I



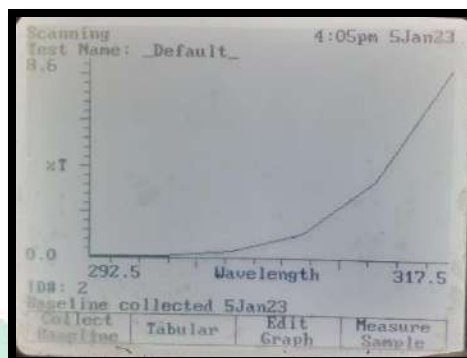
Gambar 36. 150 ppm replikasi II



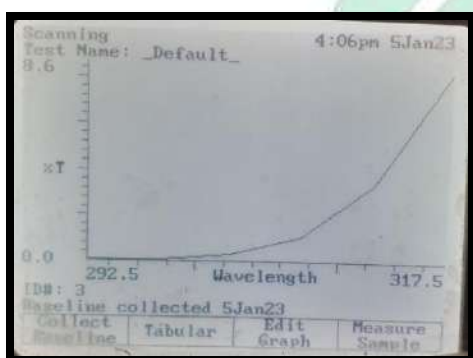
Gambar 37. 150 ppm replikasi III



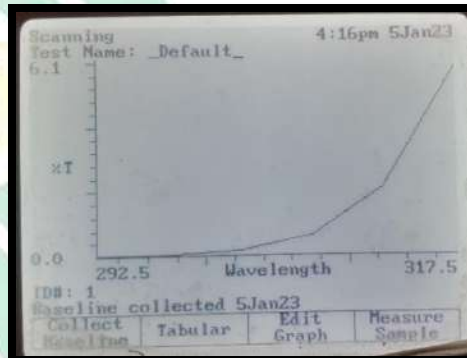
Gambar 38. 200 ppm replikasi I



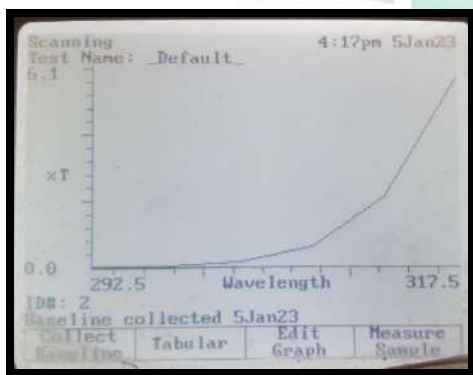
Gambar 39. 200 ppm replikasi II



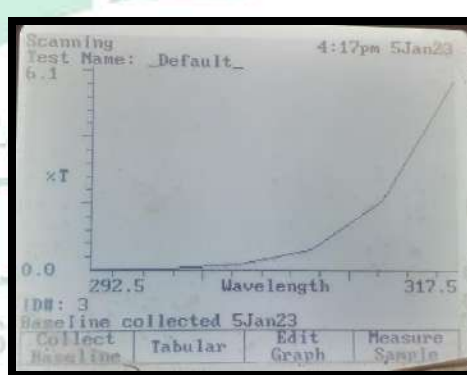
Gambar 40. 200 ppm replikasi III



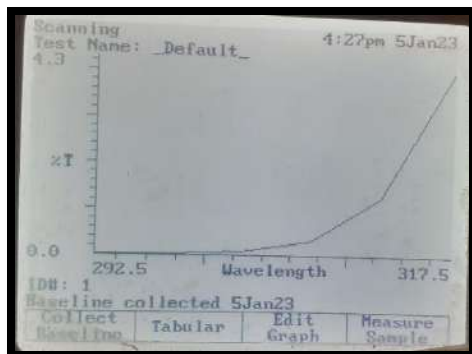
Gambar 41. 250 ppm replikasi I



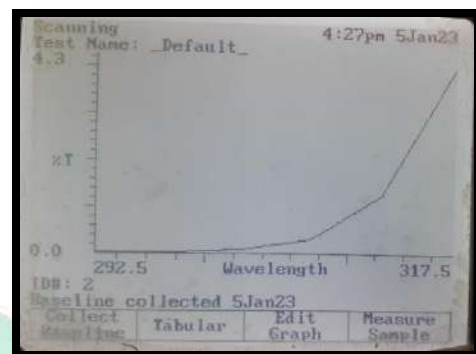
Gambar 42. 250 ppm replikasi II



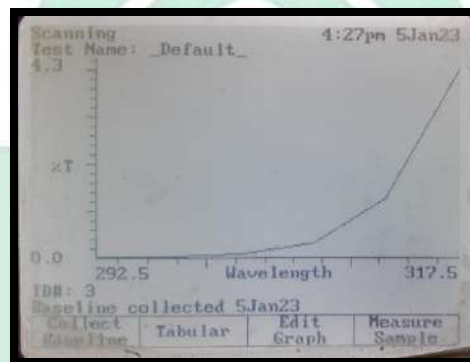
Gambar 43. 250 ppm replikasi III



Gambar 44. 300 ppm replikasi I

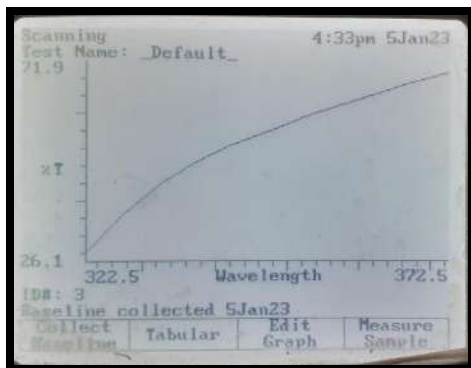


Gambar 45. 300 ppm replikasi II

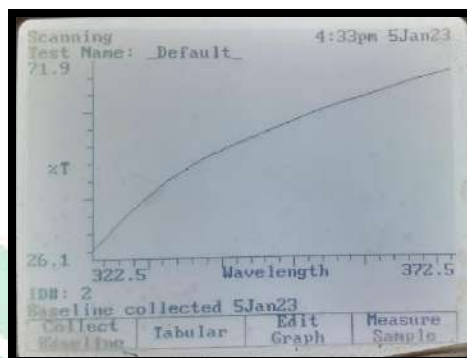


Gambar 46. 300 ppm replikasi III

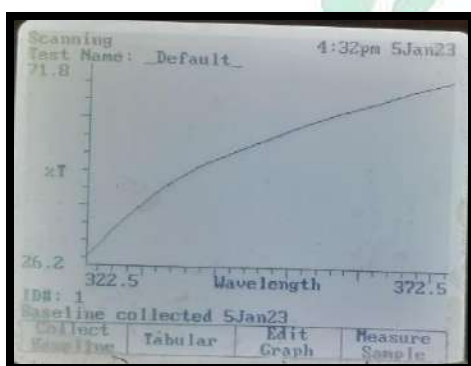
3. Pengukuran % Transmisi Pigmentasi



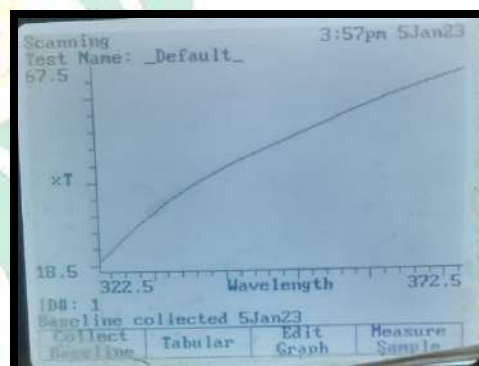
Gambar 47. 100 ppm replikasi I



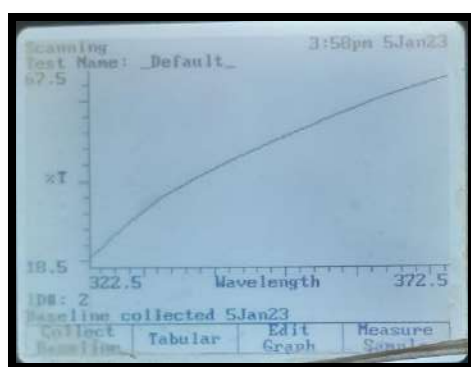
Gambar 48. 100 ppm replikasi II



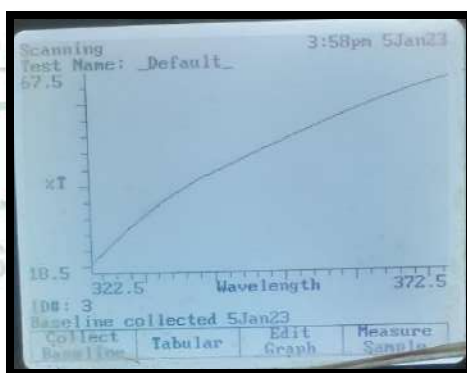
Gambar 49. 100 ppm replikasi III



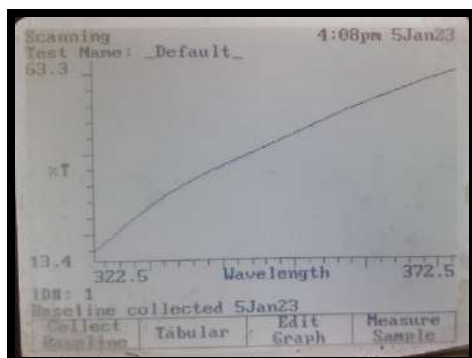
Gambar 50. 150 ppm replikasi I



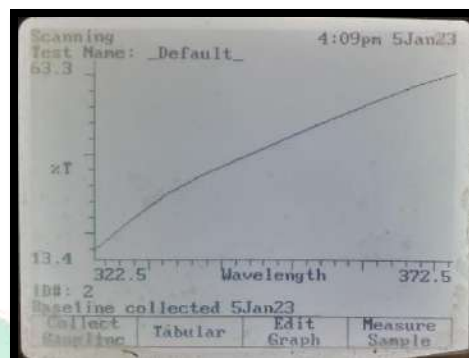
Gambar 51. 150 ppm replikasi II



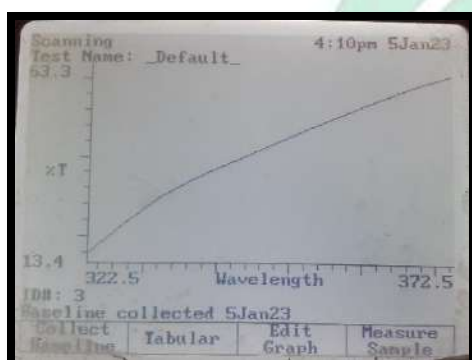
Gambar 52. 150 ppm replikasi III



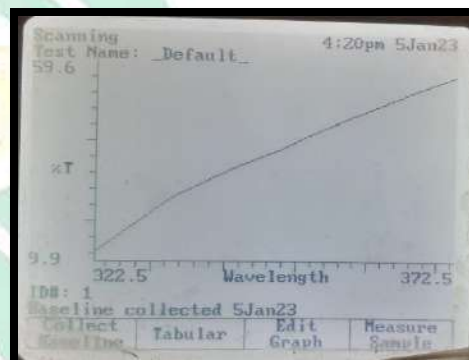
Gambar 53. 200 ppm replikasi I



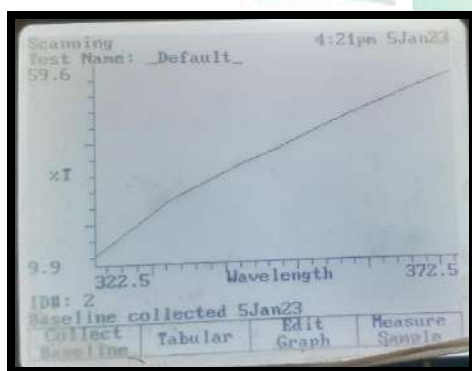
Gambar 54. 200 ppm replikasi II



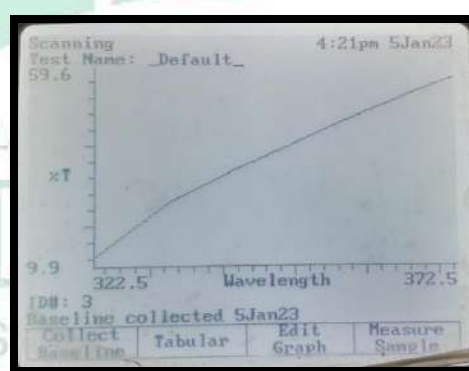
Gambar 55. 200 ppm replikasi III



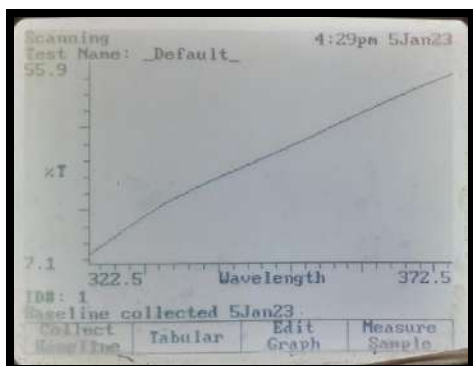
Gambar 56. 250 ppm replikasi I



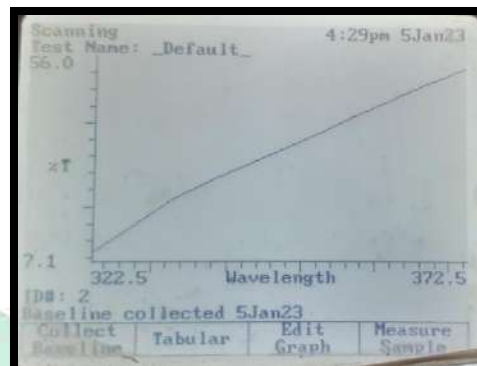
Gambar 57. 250 ppm replikasi II



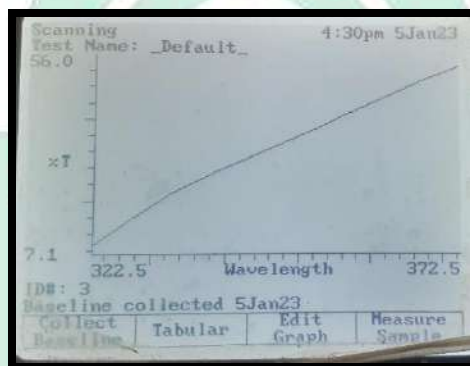
Gambar 58. 250 ppm replikasi III



Gambar 59. 300 ppm replikasi I



Gambar 60. 300 ppm replikasi II



Gambar 61. 300 ppm replikasi III

DAFTAR RIWAYAT HIDUP



Nurlinda, lahir di Batujala, 13 mei 2001, anak dari pasangan Bapak Saleh dan Ibu Mantang, merupakan anak kedua dari empat bersaudara. Memiliki kegemaran menonton, membaca novel dan makan.

Memulai pendidikan di TK Tut Wuri Handayani batujala dan selesai pada tahun 2006, kemudian pada tahun yang sama mulai masuk sekolah dasar di SD Impres No.229 Batujala dan selesai pada tahun 2012. Setelah itu melanjutkan pendidikan ke sekolah menengah pertama di SMP Negeri 2 Bontoramba dan tamat pada tahun 2015. Pada tahun itu juga, melanjutkan pendidikan ke sekolah menengah kejuruan di SMK Harapan Nusantara Bangkala Jeneponto dan mengambil jurusan keperawatan dan selesai di tahun 2018, kemudian melanjutkan pendidikan pada jenjang strata satu (S1) di Jurusan Farmasi Fakultas Kedokteran dan Ilmu Kesehatan di Universitas Islam Negeri Alauddin Makassar.

UNIVERSITAS ISLAM NEGERI
ALAUDDIN
M A K A S S A R